Mines d'Or Wesdome Ltée
TSX: WDO
OTCQX: WDOFF
www.wesdome.com

WESDOME CONFIRME UNE NOUVELLE ZONE PARALLÈLE À KIENA DEEP ET ÉTEND LA MINÉRALISATION EN PROFONDEUR DANS PLUSIEURS ZONES À EAGLE RIVER

- *Un nouveau corridor minéralisé vertical de 150 mètres à Kiena Deep confirmé par le sondage N134-7152W1 : 6,9 g/t Au non plafonné sur 42,1 m de longueur de carotte. Ce secteur de l'éponte inférieur de Norbenite demeure ouvert dans toutes les directions et représente un nouveau corridor minéralisé potentiel accessible à partir des niveaux de développement existants.*

- *Des résultats à haute teneur prolongent plusieurs zones de Kiena Deep, notamment une intersection de 124,1 g/t Au non plafonné sur 2,5 mètres de longueur de carotte (64,5 g/t Au plafonné, 0,7 m d'épaisseur vraie) dans la lentille A2 223, confirmant que le système à haute teneur de Kiena Deep continue de prendre de l'ampleur.*

- *La zone 800 d'Eagle River a été prolongée de 300 mètres supplémentaires sous le modèle filaire de la minéralisation existante, confirmant la continuité de la minéralisation aurifère à haute teneur au sein d'un corridor de déformation plus vaste qu'initialement interprété, la zone demeurant ouverte en aval-pendage ainsi que latéralement.*

- *Une intersection de 618,2 g/t Au sur 0,5 mètre de longueur de carotte (200 g/t Au plafonné, 0,35 m d'épaisseur vraie) a été recoupée à environ 70 mètres à l'est et à l'extérieur du domaine à haute teneur de la zone 300 à Eagle River. Cette intersection constitue l'un des premiers résultats des forages d'exploration et de conversion réalisés sur la cible 19 du modèle global et souligne le potentiel de recouper d'autres intervalles à plus haute teneur.*

- *Les larges intersections continues recoupées dans les forages d'extension à Mishi soutiennent le potentiel d'une exploitation à ciel ouvert à Eagle River, tandis que la continuité de la minéralisation en aval-pendage laisse entrevoir de possibles extensions des ressources souterraines en profondeur.*

- *Les forages plus profonds dans la formation de fer de Cameron Lake à Eagle River continuent de recouper de larges intervalles aurifères, confirmant que la zone demeure ouverte en profondeur et latéralement, tout en faisant progresser cette cible comme une possibilité d'exploitation minière à fort tonnage à plus long terme.*

Toronto (Ontario) – le 22 juin 2026 – Mines d'Or Wesdome Ltée (TSX:WDO, OTCQX:WDOFF) (« **Wesdome** » ou la « **Société** ») fournit aujourd'hui une mise à jour sur ses activités de forage d'exploration réalisées à sa mine Eagle River (« **Eagle River** »), détenue en propriété exclusive et située près de Wawa, en Ontario, au Canada (Figure 1), ainsi qu'à sa mine Kiena (« **Kiena** »), située près de Val-d'Or, au Québec (Figure 2).

Anthea Bath, présidente et cheffe de la direction, a déclaré : « Notre première phase de forage d'extension à Kiena et à Eagle River a généré des résultats prometteurs, soulignant l'important potentiel qui reste à mettre en valeur.

« À Kiena Deep, nous avons découvert une nouvelle zone parallèle dans un secteur qui n'avait jamais été testé par forage auparavant, confirmant l'existence d'un tout nouveau corridor minéralisé s'étendant sur au moins 150 mètres verticalement. Il est important de noter que cette nouvelle zone demeure ouverte dans toutes les directions et se situe dans un environnement géologique structurellement complexe qui a fait l'objet de peu de forages par rapport à son potentiel. Nous croyons que cette découverte met en évidence la possibilité d'une croissance significative des ressources au-delà de notre inventaire actuel et renforce notre conviction que Kiena demeure l'un des systèmes aurifères à haute teneur les plus prometteurs au Canada. Grâce à l'accès désormais établi à partir de la nouvelle galerie d'exploration du

niveau 134, nous croyons être bien positionnés pour faire progresser de façon systématique les forages intercalaires et révéler davantage de valeur au sein de ce corridor émergent.

« À Eagle River, les forages continuent de démontrer que le système minéralisé s'étend bien au-delà des limites de notre modèle de blocs actuel. Ces résultats renforcent notre confiance dans le fait que nous ne faisons que commencer à définir l'ampleur réelle du système, tout en soulignant le potentiel de corridors à haute teneur supplémentaires à l'extérieur des zones actuellement connues. La constance de ces résultats renforce notre conviction qu'Eagle River possède un important potentiel de croissance à long terme qui pourra être mis en valeur grâce à la poursuite des travaux d'exploration.

« À Mishi, le gisement continue de démontrer une impressionnante continuité et une croissance en profondeur, ce qui renforce davantage notre conviction qu'il représente une possibilité attrayante d'exploitation minière à fort tonnage. À mesure que nous continuons d'étendre l'empreinte minéralisée, nous constatons que Mishi présente un potentiel croissant pour devenir un important actif de croissance future au sein du district d'Eagle River. À la formation de fer de Cameron Lake, les forages continuent d'améliorer notre compréhension du système, les sondages plus profonds confirmant de larges intervalles aurifères en profondeur. Nous avons hâte de réaliser une étude technique exhaustive plus tard dans l'année afin d'orienter la prochaine phase d'exploration.

« L'exploration en profondeur demeure l'un des outils les plus puissants dont nous disposons pour créer de la valeur à long terme pour les actionnaires. Ce qui nous enthousiasme le plus dans ces résultats, c'est qu'ils ne se limitent pas à prolonger des zones déjà connues – ils révèlent de nouvelles possibilités à l'échelle de notre portefeuille de propriétés. Avec plusieurs découvertes qui continuent de s'étendre au-delà des limites actuelles des ressources et plusieurs cibles très prometteuses qui demeurent encore largement non testées, nous croyons que nous ne faisons que commencer à révéler le plein potentiel de nos actifs et que certaines de nos découvertes les plus importantes sont peut-être encore devant nous.

Jono Lawrence, vice-président principal, exploration et ressources, a ajouté : « Les résultats publiés aujourd'hui démontrent l'efficacité de notre approche systématique en matière d'exploration. À Kiena, la galerie d'exploration du niveau 134 nous a fourni une nouvelle plateforme pour forer des cibles qui étaient auparavant difficiles d'accès, notamment le nouveau secteur de l'éponte inférieure de Norbenite. Avec un secteur non testé d'environ 300 mètres au-dessus de cette nouvelle zone et une minéralisation qui demeure ouverte dans toutes les directions, celui-ci offre une voie claire pour les forages de suivi. À Eagle River, la présence d'une roche volcanique encaissante dans l'intersection de la zone 800 est un élément qui modifie de façon significative notre compréhension de la zone de déformation élargie et qui influencera la conception de nos programmes de suivi plus tard cette année. Mishi et la formation de fer de Cameron Lake continuent d'évoluer à leur propre rythme, alors que les mises à jour des estimations de ressources et les travaux métallurgiques progressent en parallèle. Les résultats de forage présentés dans le présent communiqué sont postérieurs à la date limite de janvier 2026 pour la base de données utilisée dans le cadre de la prochaine mise à jour des ressources minérales de fin d'exercice 2025 et devraient contribuer à une future mise à jour prévue à la fin de 2026. »

FAITS SAILLANTS DES FORAGES À KIENA DEEP (Figure 3)

Éponte inférieure de Norbenite (Figure 4, Tableau 1)[1]

Les forages en profondeur ont recoupé une nouvelle zone minéralisée située à 40 mètres dans l'éponte inférieure de Norbenite, au-delà de la faille Norbenite, laquelle présente une corrélation géologique avec l'intersection du sondage historique 6752W10. Cette nouvelle intersection met en évidence une zone minéralisée verticale de 150 mètres, encaissée dans des roches basaltiques, qui demeure ouverte en amont-pendage, latéralement et en profondeur.

- N134-7152W1: 6,9 g/t Au non plafonné sur 42,1 m de longueur de carotte (6,9 g/t Au plafonné, 42,1 m de longueur de carotte), incluant:
  - 8,3 g/t Au non plafonné sur 29,5 m de longueur de carotte (8,3 g/t Au plafonné sur 29,5 m de longueur de carotte)

Zones A, A1 et A2 (Figure 4, Tableau 1)[1]

Les sondages d'exploration ont confirmé la continuité des zones A et A2, ainsi que les prolongements vers l'est des zones A1 et A2 sur 20 mètres et 30 mètres, respectivement.

- N134-7152: 33,9 g/t Au non plafonné sur 3,4 m de longueur de carotte (33,9 g/t Au plafonné, 3,0 m d'épaisseur vraie)
- N134-7152: 52,2 g/t Au non plafonné sur 4,3 m de longueur de carotte (32,7 g/t Au plafonné, 3,8 m d'épaisseur vraie)
- N134-7152: 8,5 g/t Au non plafonné sur 4,7 m de longueur de carotte (8,5 g/t Au plafonné, 4,1 m d'épaisseur vraie)
- N134-7152W1: 67,9 g/t Au non plafonné sur 3,3 m de longueur de carotte (44,8 g/t Au plafonné, 2,7 m d'épaisseur vraie)

Zone A2 223 (Figure 5, Tableau 1)[1]

Nouvelle lentille confirmée – Zone A2 223 et extension en amont-pendage à la suite des forages de délimitation.

- N134-K022: 124,1 g/t Au non plafonné sur 2,5 m de longueur de carotte (64,5 g/t Au plafonné, 0,7 m d'épaisseur vraie)
- N134-K023: 49,7 g/t Au non plafonné sur 3,6 m de longueur de carotte (26,9 g/t Au plafonné, 1,6 m d'épaisseur vraie)

Zone de basalte 1 (BZ1) (Figure 6, Tableau 1)[1]

Extension de plus de 30 mètres de la BZ1 vers le sud-est confirmée par les forages d'exploration.

- N134-7144: 6,1 g/t Au non plafonné sur 4,3 m de longueur de carotte (6,1 g/t plafonné sur 3,2 m d'épaisseur vraie)

FAITS SAILLANTS DES FORAGES À EAGLE RIVER

Zone 800 (Figure 7, Tableau 1)[2]

Les forages confirment la continuité des structures sur 300 mètres sous la minéralisation actuellement modélisée.

- ERS-2026-001: 9,7 g/t Au non plafonné sur 2,0 m de longueur de carotte (9,7 g/t Au plafonné, 1,0 m d'épaisseur vraie), incluant:
  - 19,0 g/t Au non plafonné sur 1,0 m de longueur de carotte
- ERS-2026-003: 31,9 g/t Au non plafonné sur 0,5 m de longueur de carotte (31,9 g/t Au plafonné, 0,2 m d'épaisseur vraie)

Zone 300 (Figure 7, Tableau 1)[3]

Les forages de conversion ont recoupé une minéralisation aurifère à haute teneur à 70 mètres à l'est du corridor à haute teneur plongeant de la zone 300.

- 26-1201-20: 618,2 g/t Au non plafonné sur 0,52 m de longueur de carotte (200 g/t Au plafonné, 0,35 m d'épaisseur vraie)

Mishi (Figure 8, Tableau 1)[4]

Les forages continuent d'étendre le système minéralisé en profondeur, mettant en évidence le potentiel de croissance des ressources tant à ciel ouvert que souterraines.

- MSH-2025-040: 1,5 g/t Au non plafonné sur 14,8 m de longueur de carotte (1,5 g/t Au plafonné, 14,4 m d'épaisseur vraie), incluant:
  - 3,1 g/t Au non plafonné sur 5,5 m de longueur de carotte
- MSH-2025-041: 8,7 g/t Au non plafonné sur 5,7 m de longueur de carotte (8,7 g/t Au plafonné, 5,1 m d'épaisseur vraie)
- MSH-2025-049: 17,5 g/t Au non plafonné sur 0,5 m de longueur de carotte (17,5 g/t Au plafonné, 0,5 m d'épaisseur vraie)

- MSH-2025-051: 5,0 g/t Au non plafonné sur 20,0 m de longueur de carotte (4,2 g/t Au plafonné, 19,5 m d'épaisseur vraie), incluant:
    - 27,2 g/t Au non plafonné sur 3,1 m de longueur de carotte

Formation de fer de Cameron Lake (Figure 9, Tableau 1)[5]

Les forages plus profonds continuent de recouper de larges zones titrant plus de 1,0 g/t Au dans cette cible à ciel ouvert et confirment que le gisement demeure ouvert en profondeur et le long de son axe.

- GS-25-269: 1,1 g/t Au non plafonné sur 41,0 m de longueur de carotte, incluant:
    - 1,9 g/t Au non plafonné sur 7,0 m de longueur de carotte, et
    - 8,4 g/t Au non plafonné sur 2,0 m de longueur de carotte

- GS-25-272: 1,2 g/t Au non plafonné sur 61,5 m de longueur de carotte, incluant:
    - 3,4 g/t Au non plafonné sur 2,0 m de longueur de carotte, et
    - 2,4 g/t Au non plafonné sur 5,0 m de longueur de carotte, et
    - 8,8 g/t Au non plafonné sur 1,0 m de longueur de carotte

- GS-25-276: 1,0 g/t Au non plafonné sur 38,7 m de longueur de carotte, incluant:
    - 7,3 g/t Au non plafonné sur 1,0 m de longueur de carotte, et
    - 3,7 g/t Au non plafonné sur 3,2 m de longueur de carotte, et
    - 5,7 g/t Au non plafonné sur 1,4 m de longueur de carotte

[1]Analyses plafonnées à 90 g/t pour les zones Kiena Deep (analyses plafonnées).
[2]Analyses plafonnées à 184,0 g/t pour la zone 800 (composites plafonnés).
[3]Analyses plafonnées à 200,0 g/t pour la zone 300 (composites plafonnés).
[4]Analyses plafonnées à 50,0 g/t pour la zone Mishi (composites plafonnés).
[5] Aucun plafonnement des teneurs ni aucune épaisseur vraie n'ont été déterminés.

DÉTAILS TECHNIQUES

Kiena Deep

Éponte inférieure de Norbenite

Deux sondages réalisés à partir de la galerie d'exploration du niveau 134 ont fourni de nouvelles preuves convaincantes de la présence d'une nouvelle zone aurifère de l'autre côté de la faille Norbenite, une importante limite géologique qui traverse le gisement Kiena en profondeur.

Le premier sondage (N134-7152W1) a recoupé une large intersection à haute teneur de 6,9 g/t Au sur 42,1 mètres, incluant 8,3 g/t Au sur 29,5 mètres, au sein d'un système de veines de quartz encaissé dans des basaltes. La roche encaissante basaltique est importante, puisqu'elle pourrait offrir des conditions d'exploitation plus favorables que la minéralisation encaissée dans les schistes qui caractérise une grande partie du gisement Kiena Deep. Plus particulièrement, cette intersection est située à environ 40 mètres au-delà de la faille Norbenite, un secteur auparavant interprété comme une éponte inférieure stérile. Cette nouvelle intersection minéralisée, ainsi que son contexte structurel, suggèrent qu'une minéralisation aurifère significative pourrait exister au-delà des interprétations géologiques et structurelles actuelles de la faille Norbenite. Cette intersection pourrait être géologiquement liée à une importante intersection historique datant de 2022, située à environ 150 mètres plus bas verticalement, qui avait recoupé 9,9 g/t Au sur 83,2 mètres. Le sondage historique 6752W10 a été réalisé par Wesdome et a été révisé par une personne qualifiée. Les procédures de forage, d'échantillonnage et d'analyse sont jugées conformes aux pratiques actuelles de l'industrie, et la personne qualifiée a conclu que les résultats étaient suffisamment fiables aux fins du présent communiqué.

Le deuxième sondage (N134-7207) a été foré afin d'évaluer le secteur situé entre le sondage N134-7152W1 et le sondage historique 6752W10, dans le but de vérifier la continuité de la roche encaissante basaltique et la présence de minéralisation. Le sondage N134-7207 a recoupé un intervalle de 65 mètres du même type de roche basaltique, caractérisé par des veines de quartz et des observations locales d'or visible similaires à celles observées dans les deux sondages susmentionnés, W1 et W10. Bien que les résultats d'analyse soient toujours en attente, ces observations sont encourageantes et laissent croire qu'il pourrait s'agir de la même zone minéralisée émergente.

Désormais appelée l'éponte inférieure de Norbenite, cette nouvelle zone a été mise en évidence sur une étendue verticale de 150 mètres et demeure ouverte dans toutes les directions. Fait notable, les intersections obtenues dans le sondage N134-7152W1 et le sondage historique 6752W10 suggèrent que cette zone minéralisée pourrait présenter une épaisseur comparable à celle des lentilles minéralisées existantes des zones A et Footwall, bien que des forages supplémentaires soient nécessaires afin d'en délimiter la géométrie et l'étendue. Au-dessus de cette nouvelle zone se trouve un secteur d'environ 300 mètres s'étendant jusqu'aux niveaux supérieurs de la minéralisation existante de la zone Footwall, un secteur qui demeure relativement peu testé par forage à ce jour, les sondages ayant généralement pris fin dans la structure de la faille Norbenite. Ce secteur situé au-delà de la faille Norbenite représente une importante nouvelle cible d'exploration.

Les forages se poursuivent activement à partir de la galerie d'exploration du niveau 134 afin de mieux définir la géométrie et l'étendue de l'éponte inférieure de Norbenite, laquelle présente un contexte structurel complexe, mais s'impose de plus en plus comme une source prometteuse de croissance future des ressources à Kiena.

Zones A, A1 et A2

Deux sondages ont été forés à partir de la galerie d'exploration du niveau 134, lesquels ciblaient les zones inférieures de Kiena Deep ainsi que leurs prolongements sous le niveau 186.

Le premier sondage, N134-7152, a recoupé trois zones minéralisées (zones A, A1 et A2) avant d'atteindre la faille Norbenite, des conditions de terrain difficiles ayant limité sa progression jusqu'à la profondeur cible initialement prévue. La faille Norbenite est une importante structure de faille régionale qui recoupe le gisement Kiena en profondeur et qui agit comme limite géologique des lentilles minéralisées connues des zones Kiena Deep A et Footwall.

Les trois zones minéralisées recoupées par le sondage N134-7152 correspondent à des zones minéralisées existantes, soit 33,9 g/t Au sur 3,4 mètres dans la zone A, 8,5 g/t Au sur 4,7 mètres dans la zone A1 et 52,2 g/t Au sur 4,3 mètres dans la zone A2. L'intersection dans la zone A1 prolonge l'interprétation actuelle de la zone A1 de 20 mètres supplémentaires vers l'est, la zone demeurant ouverte.

Le deuxième sondage foré à partir de la galerie d'exploration du niveau 134, N134-7152W1, a recoupé 44,8 g/t Au sur 2,7 mètres dans la zone A2, prolongeant également cette zone de 30 mètres vers l'est. Le sondage a progressé avec succès au-delà de la faille Norbenite et a recoupé la minéralisation de la zone A dans l'éponte inférieure de Norbenite.

Zone A2 223

Les récents forages ont confirmé et prolongé la lentille A2 223 à haute teneur, située à 20 mètres sous le niveau 136, les résultats mettant en évidence un prolongement de 10 mètres en amont-pendage. Deux nouveaux sondages ont retourné de fortes teneurs en or, démontrant davantage la qualité et la continuité de la minéralisation dans ce secteur. La lentille demeure ouverte en amont-pendage, et des forages supplémentaires sont actuellement en cours afin de mieux définir son étendue complète.

Zone de basalte BZ1

La BZ1, située à 120 mètres de profondeur verticale des infrastructures de développement existantes, a été prolongée de 30 mètres le long de son axe, les plus récents forages ayant recoupé 6,1 g/t Au sur 4,3 mètres (3,2 mètres d'épaisseur vraie). Ces résultats démontrent la continuité de la minéralisation au sein de la zone, qui demeure ouverte et non testée au-delà de l'enveloppe de forage actuelle. Des sondages supplémentaires sont prévus afin d'évaluer davantage l'étendue et le potentiel de la zone, et les forages débuteront au cours du second semestre de l'année.

Eagle River

Zone 800

Au cours du premier trimestre de 2026, un sondage d'extension de 1 700 mètres a été réalisé à partir de la surface à Eagle River, lequel ciblait un prolongement potentiel en profondeur de la zone 800 à haute teneur. Il s'agit de l'un des plus longs sondages forés à partir de la surface sur la propriété. Le sondage a recoupé avec succès les principaux indicateurs de minéralisation aurifère à la profondeur ciblée, notamment des structures, du cisaillement, des altérations et des veines de quartz, et a rapporté 12,9 g/t Au sur 1,5 mètre, incluant un intervalle à plus haute teneur de 19,0 g/t Au sur 1,0 mètre. Notamment, cette intersection prolonge la zone 800 d'environ 300 mètres sous le modèle minier actuel, dans un secteur qui n'avait jamais été testé par forage à cette profondeur.

L'emplacement de cette minéralisation est peut-être tout aussi important. Plutôt que d'être encaissée dans la diorite associée à la zone 800 connue, l'intersection a été recoupée dans des unités volcaniques fortement déformées, ce qui laisse croire que le système aurifère d'Eagle River est plus complexe et potentiellement plus étendu en profondeur qu'on ne le croyait auparavant. Cela ouvre la voie à une cible d'exploration plus vaste au-delà du contact minier connu.

La zone 800 demeure ouverte en aval-pendage et latéralement, ce qui en fait une cible de croissance hautement prioritaire. Des forages de suivi sont en cours de conception pour plus tard en 2026, y compris des options de forages en coin supplémentaires.

Zone 300

Les extrémités inférieures de la zone 300 abritent la cible no 19 du modèle global. Cette cible correspond à un secteur non testé dans les données de forage existantes. La cheminée à haute teneur de la zone 300, d'une largeur approximative de 100 mètres, plonge en direction de cette cible, et les intersections à haute teneur précédemment rapportées des sondages situés au-delà de la cible appuient la continuité de la zone à haute teneur.

De longs sondages souterrains forés à la fin du T1 et au T2 de 2026 ciblaient la cible no 19 du modèle global dans le cadre du programme de forage d'exploration intercalaire de cette année. Les premiers résultats du sondage 25-1201-20 ont recoupé une intersection à haute teneur de 618,2 g/t Au sur 0,5 mètre de longueur de carotte (200 g/t Au plafonné, 0,35 m d'épaisseur vraie). Cette intersection est située à environ 70 mètres à l'est et à l'extérieur de la cheminée à haute teneur plongeante et, bien que les forages se poursuivent, ce résultat met en évidence le potentiel de délimiter d'autres zones minéralisées à haute teneur. Les résultats des forages seront publiés dans le cadre d'une mise à jour globale des travaux d'exploration à Eagle River prévue vers la fin de 2026.

Zone 6 Central

La zone 6 Central est l'un des principaux systèmes aurifères à haute teneur d'Eagle River, dont la continuité est maintenant confirmée sur plus de 700 mètres. Un sondage réalisé au début de 2026 a été conçu afin d'évaluer un secteur situé sous le modèle de ressources actuel, soit environ 500 mètres sous les formes du modèle des ressources existantes, dans le but de cibler des extensions potentielles au-delà de ce qui a déjà été défini. Le sondage de surface ERS-2026-003, d'une profondeur de 1 368 mètres, a été complété au début du T2. Toutefois, en raison de problèmes

opérationnels qui ont depuis été résolus, il a pris fin à 150 mètres de la profondeur cible, où il devait recouper la projection de la minéralisation de la zone 6 Central.

Le sondage a toutefois recoupé une zone de cisaillement minéralisée à une profondeur moindre, située spatialement au nord de la diorite de la mine. Le sondage a rapporté une intersection à haute teneur de 31,9 g/t Au sur 0,5 mètre dans un secteur ayant fait l'objet de très peu de forages auparavant. Il est important de noter que la minéralisation a été recoupée à l'extérieur de la diorite, ce qui renforce davantage le potentiel d'exploration de la vaste zone de déformation d'Eagle River. Des sondages supplémentaires sont en cours de conception afin d'évaluer l'étendue de la zone de cisaillement minéralisée, particulièrement en profondeur, là où la structure devrait recouper le corps principal de la diorite à pendage vers le nord. Les forages sont prévus plus tard en 2026, sous réserve de la disponibilité des foreuses.

Mishi

Mishi est devenue un centre d'intérêt dans le cadre de la stratégie d'exploration de Wesdome à Eagle River, alors que la Société évalue son potentiel de soutenir une opportunité d'exploitation minière à fort tonnage (à ciel ouvert ou souterraine), l'une des nombreuses possibilités de ce type identifiées à l'échelle du portefeuille de terrains consolidés. L'objectif est de compléter et de soutenir à long terme le débit de l'usine d'Eagle River, en diversifiant les sources de minerai au-delà de la mine souterraine à haute teneur et en appuyant potentiellement un scénario d'agrandissement de l'usine.

Un programme de forage de 9 600 mètres a été réalisé à Mishi en 2025 avec trois principaux objectifs : évaluer l'étendue en profondeur des zones minéralisées, vérifier certains résultats historiques clés de forage et évaluer des secteurs non testés à l'ouest de la fosse à ciel ouvert existante. Les résultats du programme sont intégrés à la prochaine mise à jour des ressources de fin d'exercice 2025. Un autre programme de 10 000 mètres est prévu en 2026 et les forages sont en cours. Les résultats présentés dans le présent communiqué proviennent du programme de forage du T4 de 2025, lequel était axé sur la continuité en aval-pendage et les forages d'extension, deux volets qui continuent d'appuyer le potentiel de croissance des ressources à Mishi. Les résultats d'analyse ont été reçus au T1 et seront intégrés à la mise à jour des ressources de fin d'exercice 2026.

Le résultat le plus marquant provient d'un sondage qui a recoupé 5,0 g/t Au sur 20,0 mètres à une profondeur d'environ 370 mètres, incluant un intervalle à plus haute teneur de 27,2 g/t Au sur 3,1 mètres. Ce résultat est conforme au modèle géologique actuel et appuie la continuité de la minéralisation en profondeur. Deux autres sondages d'extension forés le long de la limite est de la zone définie ont recoupé respectivement 1,5 g/t Au sur 14,8 mètres et 8,7 g/t Au sur 5,7 mètres, démontrant une fois de plus que le système de Mishi demeure ouvert dans toutes les directions et continue de prendre de l'ampleur à chaque programme de forage.

Formation de fer de Cameron Lake

La formation de fer de Cameron Lake est une cible aurifère à grande échelle située dans le portefeuille de terrains d'Eagle River de Wesdome. Elle se caractérise par des teneurs plus faibles réparties sur des intervalles de roche beaucoup plus larges, avec un potentiel de tonnage important. Elle représente un style de minéralisation différent de celui des mines souterraines à haute teneur d'Eagle River.

Un programme de forage de 4 300 mètres a été réalisé à la formation de fer de Cameron Lake au quatrième trimestre de 2025, les résultats d'analyse ayant été reçus au début de 2026. Le programme visait à évaluer jusqu'où s'étend en profondeur la zone aurifère actuellement définie sur un kilomètre, et les résultats sont encourageants. Deux forages remarquables, atteignant tous deux une profondeur verticale d'environ 200 mètres, les plus profonds réalisés à ce jour dans la formation de fer de Cameron Lake, ont recoupé de larges intervalles de minéralisation aurifère. Le premier sondage a recoupé 1,1 g/t Au sur 41,0 mètres, incluant un noyau à plus haute teneur de 8,4 g/t Au sur 2,0 mètres. Le second a recoupé 1,0 g/t Au sur 38,7 mètres, incluant des intervalles à plus haute teneur de 7,3 g/t Au sur 1,0 mètre et de 3,7 g/t Au sur 3,2 mètres.

La zone demeure ouverte dans toutes les directions et continue de croître en taille et en importance. Les épaisseurs vraies n'ont pas été déterminées pour les intersections rapportées, et des forages supplémentaires seront nécessaires afin d'établir la géométrie, la continuité et l'étendue complète des zones minéralisées.

Une revue technique exhaustive est prévue au troisième trimestre de 2026, parallèlement à la collecte de carottes de forage aux fins d'essais métallurgiques préliminaires, une étape importante pour évaluer la possibilité d'extraire l'or de façon économique. Les forages de suivi seront conçus une fois cet examen terminé, alors que la formation de fer de Cameron Lake continue d'évoluer comme une possibilité d'exploitation minière à fort tonnage pour Wesdome.

À propos de Wesdome

Wesdome est un producteur d'or canadien qui possède deux actifs souterrains à haute teneur, Eagle River dans le nord de l'Ontario et Kiena à Val-d'Or, au Québec. L'objectif principal de la Société est de tirer parti de manière responsable de sa plateforme d'exploitation et de son portefeuille de projets d'exploration existants et nouveaux de grande qualité, afin de bâtir un producteur aurifère intermédiaire axé sur la création de valeur.

Pour de plus amples informations

Raj Gill
VP principal, développement corporatif
et relations avec les investisseurs
Téléphone : +1.416.360.3743
Courriel : invest@wesdome.com

Trish Moran
Vice-présidente, relations avec les investisseurs
Téléphone : +1.416.564.4290
Courriel : trish.moran@wesdome.com

Divulgation technique

Pour les forages de surface à Eagle River, la carotte de forage de diamètre NQ a été sciée en deux à l'aide d'une scie à diamant, produisant ainsi un demi-échantillon de carotte destiné à l'analyse et un demi-échantillon de carotte conservé à des fins de référence. Les échantillons ont été transportés dans des sacs scellés par des camions de messagerie enregistrés auprès du laboratoire, puis acheminés à AGAT Laboratories à Thunder Bay, en Ontario (laboratoire indépendant accrédité ISO/IEC 17025:2017, laboratoire accrédité no 665) pour y être préparés et analysés. Les pulpes sont analysées par pyroanalyse avec finition AAS (méthode AGAT 202-051). Les échantillons titrant plus de 10 g/t Au ont ensuite été testés par des analyses gravimétriques (202-064) et par tamis métallique (202-121). AGAT Laboratories est un laboratoire accrédité (ISO/IEC 17025:2017, laboratoire accrédité no 665). Les demi-carottes de forage sont conservées dans des casiers à carottes au complexe Eagle River pour un entreposage à long terme. Les pulpes sont retournées à Wesdome et stockées dans un conteneur maritime au bureau des opérations du camp de Mishi. L'assurance qualité/contrôle qualité (AQ/CQ) est assurée par un lot de trois échantillons (un blanc, un duplicata de pulpe et un étalon commercial d'or) qui sont insérés dans le flux d'échantillons à un intervalle de 20 échantillons. Par conséquent, 15 échantillons AQ/CQ sont insérés pour chaque série de 100 échantillons. De plus, des blancs ont été insérés après l'observation d'or visible afin d'éviter toute contamination entre les échantillons.

Pour les forages d'exploration à Kiena, la carotte de forage de diamètre NQ a été coupée en deux à l'aide d'une scie à diamant, produisant ainsi un demi-échantillon de destiné à l'analyse et un demi-échantillon de carotte conservé à titre de référence. Les forages de délimitation, réalisés dans les secteurs des ressources définies, ont un diamètre BQ et la carotte entière a été envoyée pour analyse. Les analyses ont été réalisées par ALS Minerals de Val-d'Or (Québec), un laboratoire commercial certifié (laboratoire accrédité n° 689). La préparation des échantillons a été réalisée chez ALS Minerals à Val-d'Or (Québec). Les analyses comprenaient des méthodes de pyroanalyse avec finition par absorption atomique. Tout échantillon présentant une teneur supérieure à 3 g/t Au a fait l'objet d'une nouvelle analyse par la méthode de pyroanalyse avec finition gravimétrique, et tout échantillon présentant une teneur supérieure à 10 g/t Au a fait l'objet d'une nouvelle analyse par la méthode du tamisage métallique. Les sondages N033-7202 et N109-7204 ont été partiellement analysés selon la méthode d'analyse par photons chez ALS Minerals à Thunder Bay. Outre les

duplicatas internes au laboratoire, les étalons et les blancs, le service de géologie insère des duplicatas aveugles, des étalons et des blancs dans le flux d'échantillons à raison d'un sur vingt afin d'assurer le contrôle qualité.

Personnes qualifiées

Le contenu technique du présent communiqué a été compilé, révisé et approuvé par les employés suivants de Wesdome : Renan Lopes, P.Geo., M.Sc., directeur, ressources minérales, géologie à proximité de la mine et exploration souterraine; Breanne Beh, P.Geo., directrice de l'exploration de surface et de nouveaux sites; et Serge Gonthier, géo. (OGQ no 578), géologue principal, ressources et géologie, lesquels sont des « personnes qualifiées » au sens du Règlement 43-101 sur l'information concernant les projets miniers

Énoncés prospectifs

Le présent communiqué de presse contient des « énoncés prospectifs » ou des « informations prospectives ». Souvent, mais pas toujours, les énoncés prospectifs peuvent être identifiés par l'utilisation de mots tels que « planifie », « s'attend à », « est attendu », « budget », « prévu », « estime », « prévisions », « a l'intention », « anticipe », ou « croit » ou des variations (y compris des variations négatives) de ces mots et expressions, ou déclarent que certaines actions, événements ou résultats « peuvent », « pourraient », « seraient », ou « seront » pris, se produiront ou seront atteints.

Les énoncés prospectifs ou les informations prospectives contenus dans le présent communiqué de presse comprennent, sans s'y limiter, les énoncés suivants concernant Eagle River et Kiena, relativement à : l'objet du programme de forage de 2026; l'éponte inférieure de Norbenite, qui représente un nouveau corridor minéralisé potentiel accessible à partir des niveaux de développement existants; l'intersection située à environ 70 mètres à l'est et à l'extérieur du domaine à haute teneur au sein de la zone 300 à Eagle River, soulignant le potentiel d'autres intersections à teneur plus élevée; les intersections de forage d'extension à Mishi, qui soutiennent le potentiel de croissance des ressources à ciel ouvert à Eagle River, avec une continuité en aval-pendage indiquant des extensions possibles des ressources souterraines en profondeur; les forages plus profonds dans la formation de fer de Cameron Lake à Eagle River, qui continuent de révéler de larges intervalles aurifères, faisant progresser la cible en tant qu'opportunité d'exploitation à long terme à fort tonnage; la conviction selon laquelle il reste un potentiel significatif à exploiter à Kiena et à Eagle River; la zone récemment découverte à Kiena Deep, qui présente un potentiel et souligne la possibilité d'une croissance significative des ressources au-delà de l'inventaire actuel de la Société, renforçant ainsi l'idée que Kiena demeure l'un des systèmes aurifères à haute teneur les plus prometteurs au Canada; le potentiel de corridors à haute teneur supplémentaires à l'extérieur des zones actuellement connues à Eagle River; le fait qu'Eagle River présente un potentiel de croissance à long terme significatif grâce à la poursuite des travaux d'exploration; la conviction que Mishi, à Eagle River, représente une opportunité attrayante à fort tonnage et qu'il est de plus en plus susceptible de devenir un actif de croissance future important dans le district d'Eagle River; compte tenu des multiples découvertes qui continuent de s'étendre au-delà des limites actuelles des ressources et des nombreuses cibles hautement prometteuses qui restent encore largement inexplorées, la conviction que la Société commence seulement à révéler pleinement le potentiel de ses actifs et que certaines de ses découvertes les plus marquantes sont peut-être encore à venir; l'attente que les résultats de forage présentés dans ce communiqué permettent de mettre à jour les informations d'ici la fin de l'année 2026; la suggestion selon laquelle la présence de roche basaltique abritant un système de veines de quartz à Kiena pourrait offrir des conditions d'exploitation plus favorables que la minéralisation de schiste qui caractérise une grande partie de Kiena Deep; une intersection clé dans le sondage N134-7152W1 suggérant qu'une minéralisation aurifère significative pourrait exister au-delà des interprétations géologiques et structurelles existantes de la faille Norbenite et pouvant potentiellement être liée géologiquement à une importante intersection historique de 2022 située à environ 150 mètres de profondeur verticale; les observations issues du sondage N134-7207 sont encourageantes et suggèrent qu'il pourrait s'agir de la même zone minéralisée émergente que celles des sondages N134-7152W1 et 6752W10; les intersections des forages N134-7152W1 et du forage historique 6752W10, qui suggèrent que la zone minéralisée pourrait présenter une épaisseur comparable à celle des lentilles minéralisées existantes de la zone A et de la zone Footwall; le secteur situé au-delà de la faille Norbenite, qui représente une nouvelle opportunité d'exploration significative; l'éponte inférieure de Norbenite, qui constitue une source potentielle de croissance future des ressources

à Kiena; le début des forages dans la BZ1 au cours du second semestre; le sondage d'extension de 1 700 mètres réalisé depuis la surface à Eagle River visait une extension potentielle de la zone 800 à haute teneur en profondeur; le système aurifère d'Eagle River s'avère plus complexe et potentiellement plus étendu en profondeur que ce qui était précédemment estimé; les premiers résultats du sondage 25-1201-20 soulignent le potentiel de délimitation de nouvelles zones minéralisées à haute teneur, ces résultats devant être publiés dans le cadre d'une mise à jour globale des travaux d'exploration à Eagle River prévue pour la fin de 2026; les résultats d'un sondage réalisé au début de 2026 dans la zone 6 Central à Eagle River ont révélé une minéralisation en dehors de la diorite, renforçant davantage le potentiel d'exploration de la zone de déformation plus large d'Eagle River; et la formation de fer de Cameron Lake présentant un potentiel de tonnage important et continuant à se développer comme une opportunité potentielle à fort tonnage pour la Société.

Les énoncés prospectifs impliquent des risques connus et inconnus, des incertitudes et d'autres facteurs qui peuvent faire en sorte que les résultats, les performances ou les réalisations actuels de la Société soient sensiblement différents des résultats, performances ou réalisations futurs exprimés ou sous-entendus par les énoncés prospectifs. Les énoncés prospectifs contenus dans le présent communiqué de presse sont faits à la date du présent communiqué et la Société décline toute obligation de mettre à jour tout énoncé prospectif, qu'il résulte de nouvelles informations, d'événements ou de résultats futurs ou pour d'autres raisons, sauf si cela est exigé par les lois sur les valeurs mobilières. Rien ne garantit que les énoncés prospectifs s'avéreront exacts, car les résultats actuels et les événements futurs pourraient différer sensiblement de ceux prévus dans ces énoncés. Par conséquent, le lecteur est invité à ne pas accorder une confiance indue aux énoncés prospectifs.

De plus, si un ou plusieurs des risques, incertitudes ou autres facteurs se matérialisent, ou si les hypothèses sous-jacentes s'avèrent incorrectes, les résultats réels peuvent varier sensiblement de ceux décrits dans les énoncés prospectifs ou les informations prospectives. Ces risques, incertitudes et autres facteurs comprennent les facteurs de risque décrits dans les sections intitulées « Mise en garde concernant les informations prospectives » et « Risques et incertitudes » de la plus récente notice annuelle de la Société. Les lecteurs sont invités à réviser attentivement l'analyse détaillée des risques dans notre plus récente notice annuelle qui est disponible sur SEDAR+ et sur le site web de la Société.

ANNEXE

Figure 1 – Vue en plan d'Eagle River

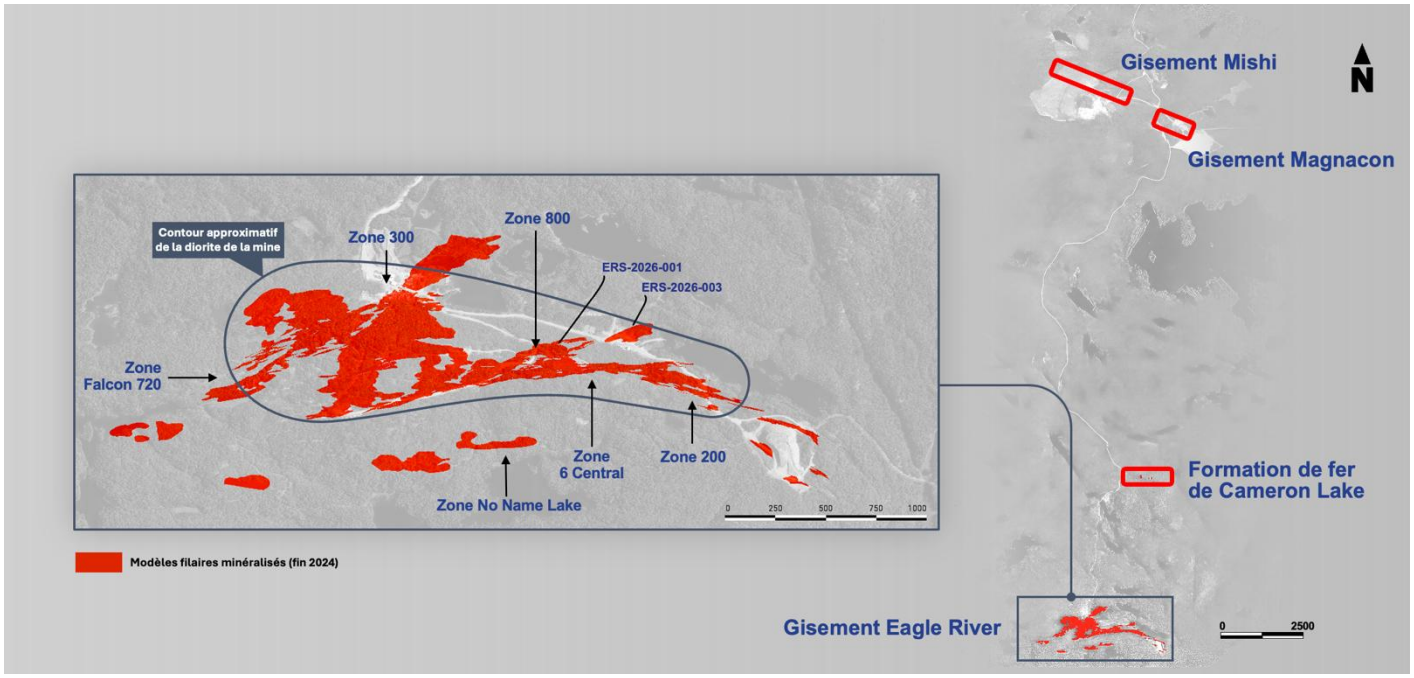


Figure 2 – Vue en plan de Kiena

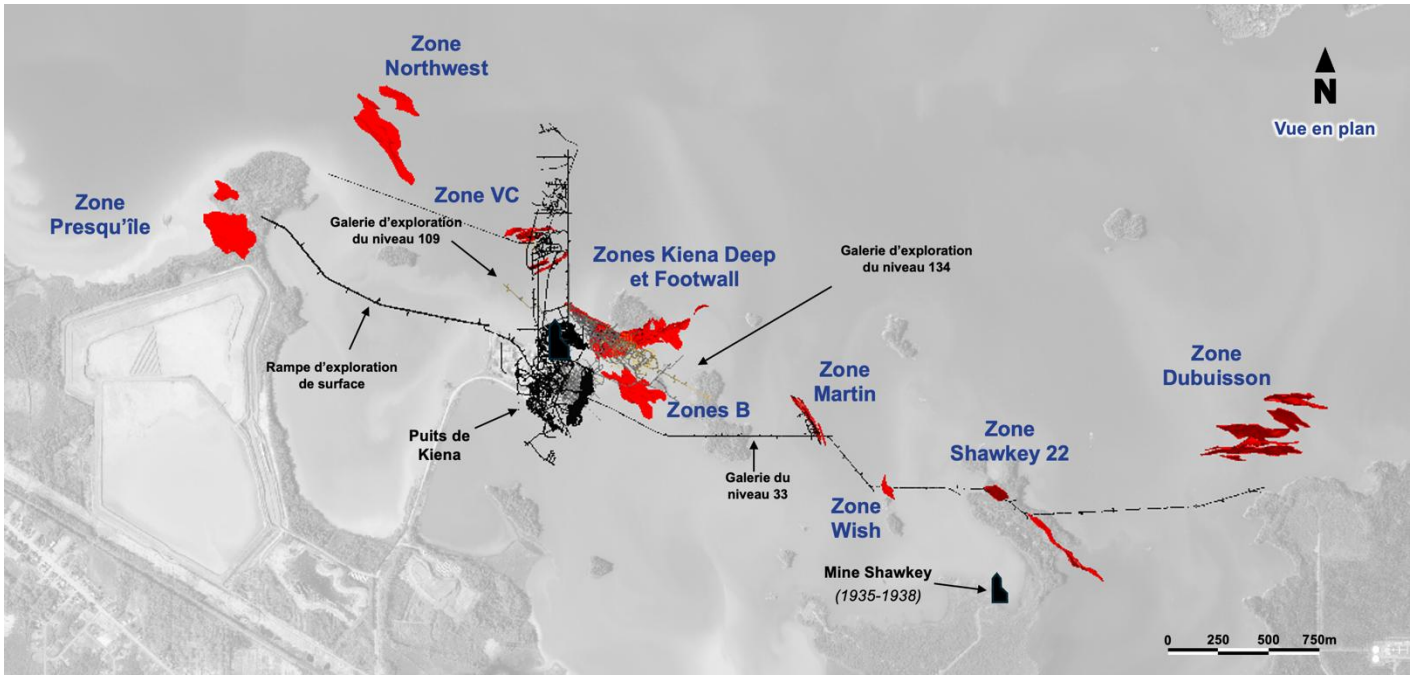


Figure 3 : Section longitudinale de Kiena Deep

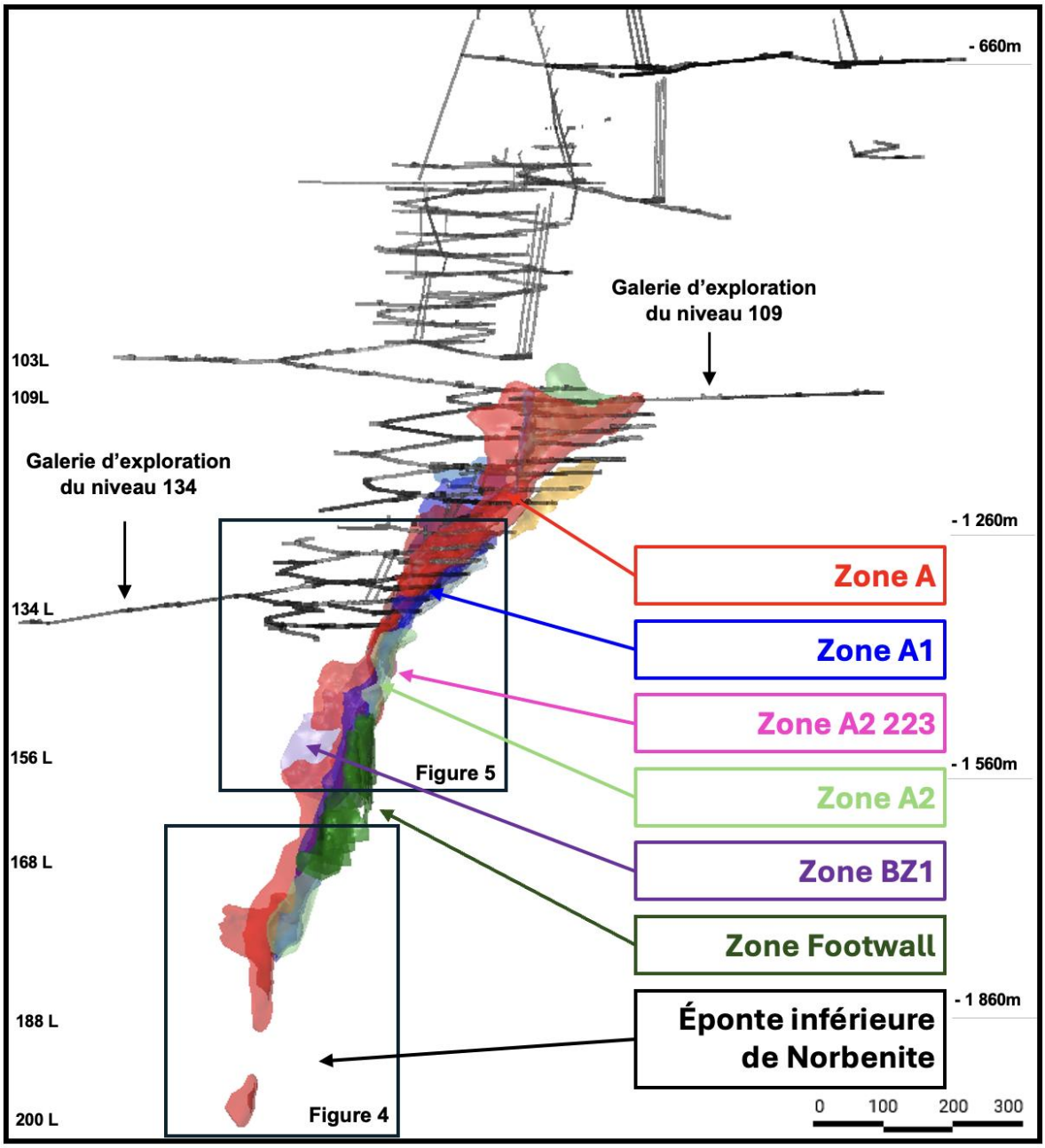


Figure 4 : Intersections en profondeur de Kiena Deep

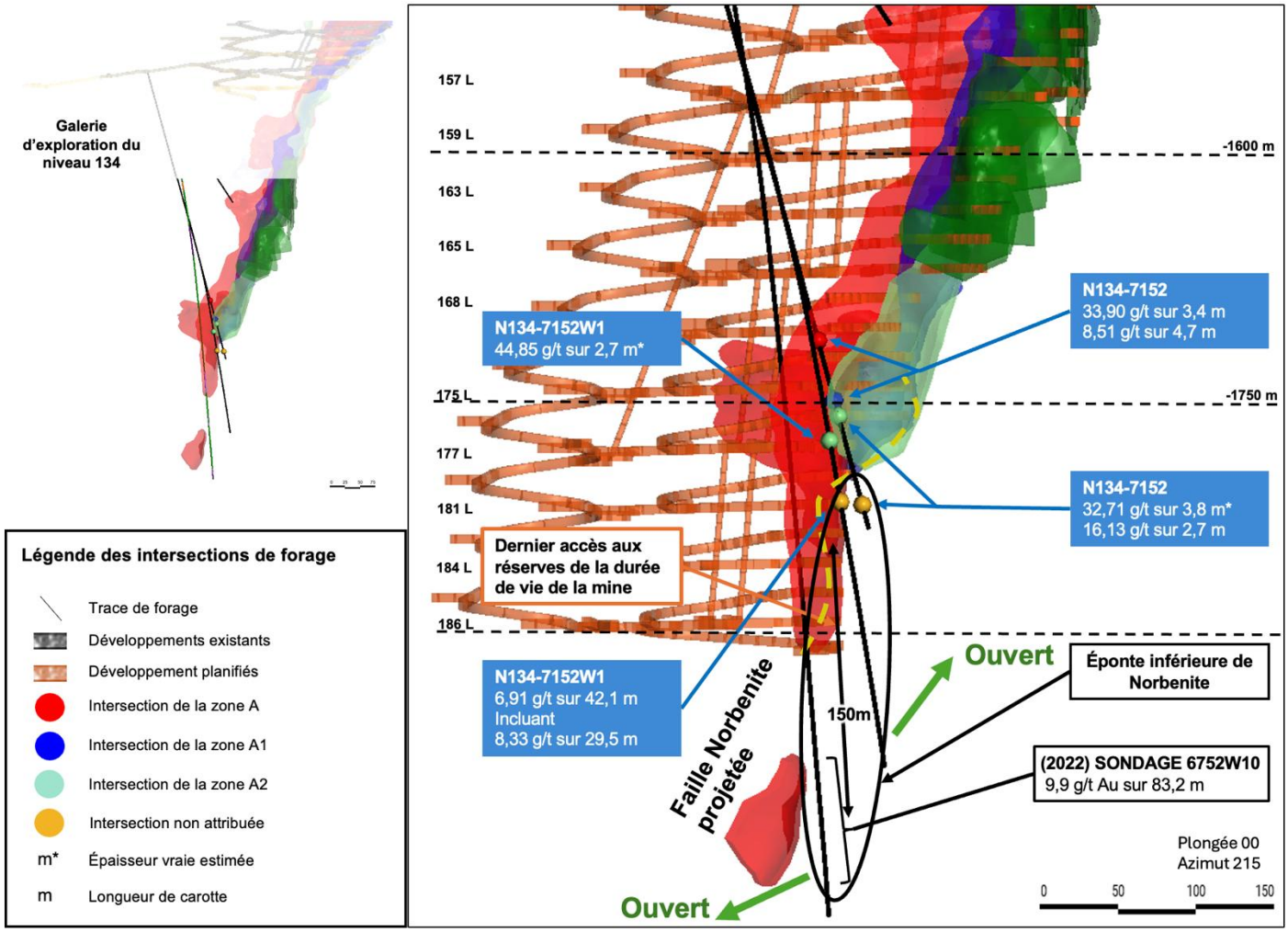


Figure 5 : Résultats positifs des forages d'exploration et de délimitation dans la A2 et BZ1

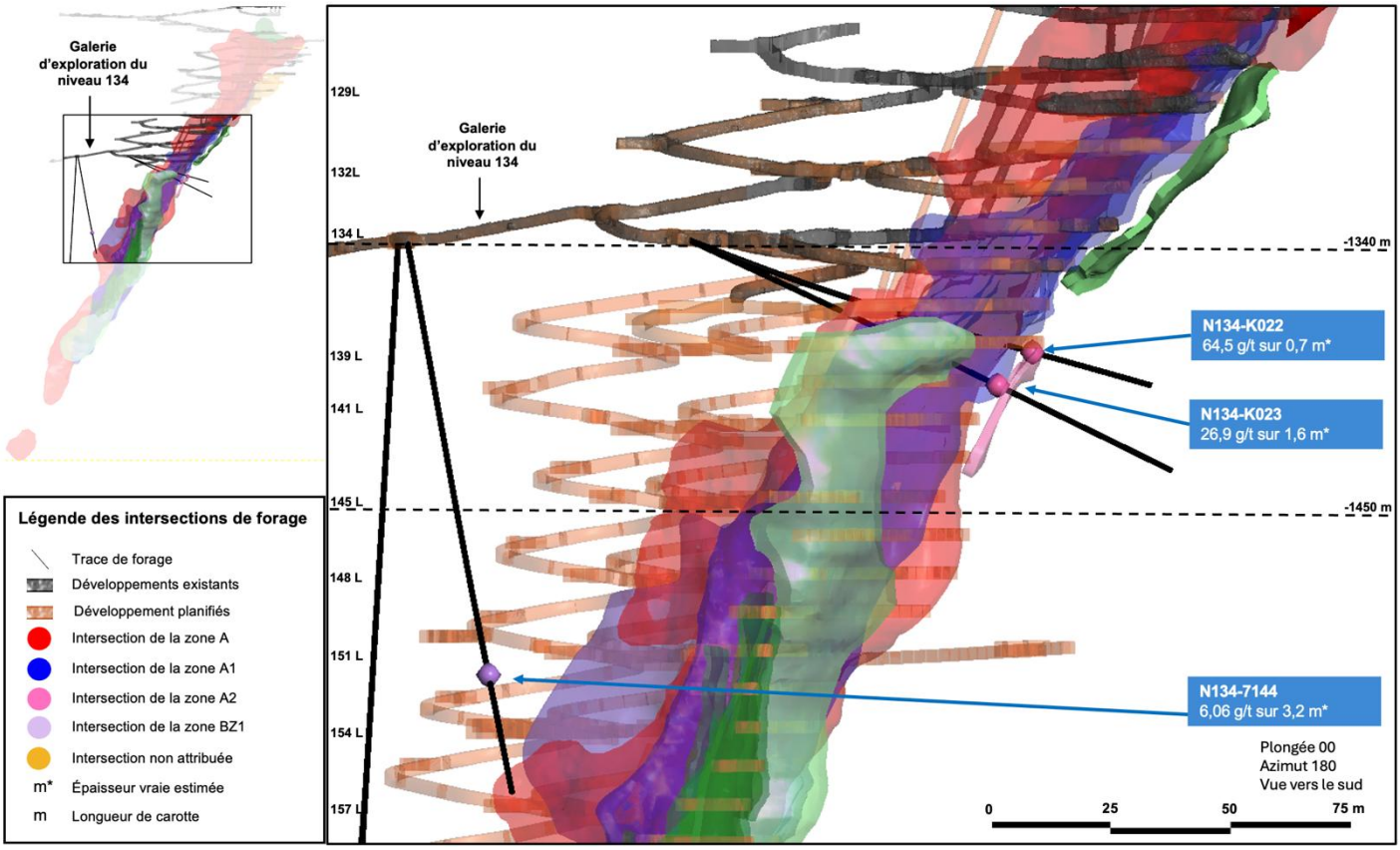


Figure 6 : Vue en plan des intersections de Kiena Deep

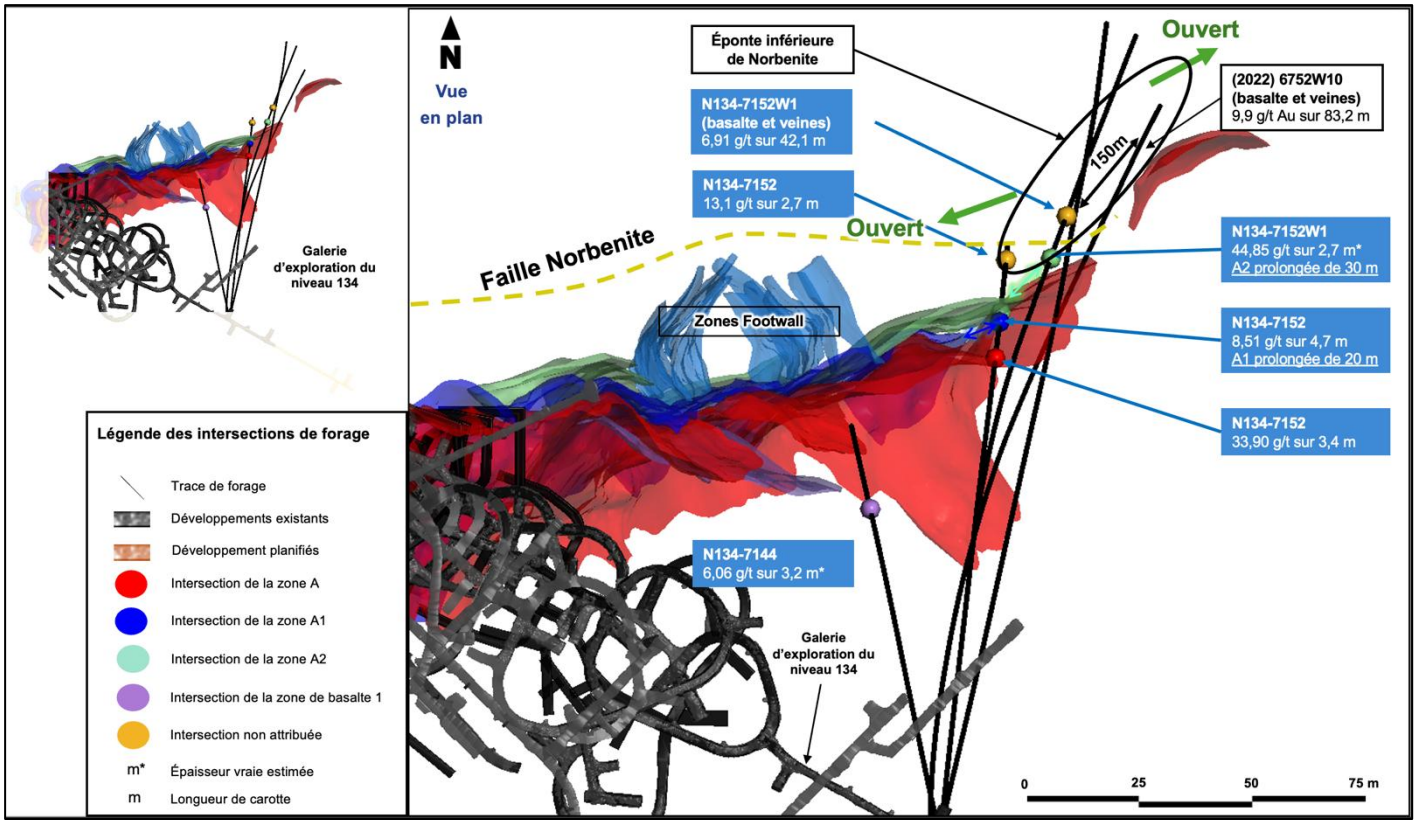


Figure 7 : Section longitudinale d'Eagle River

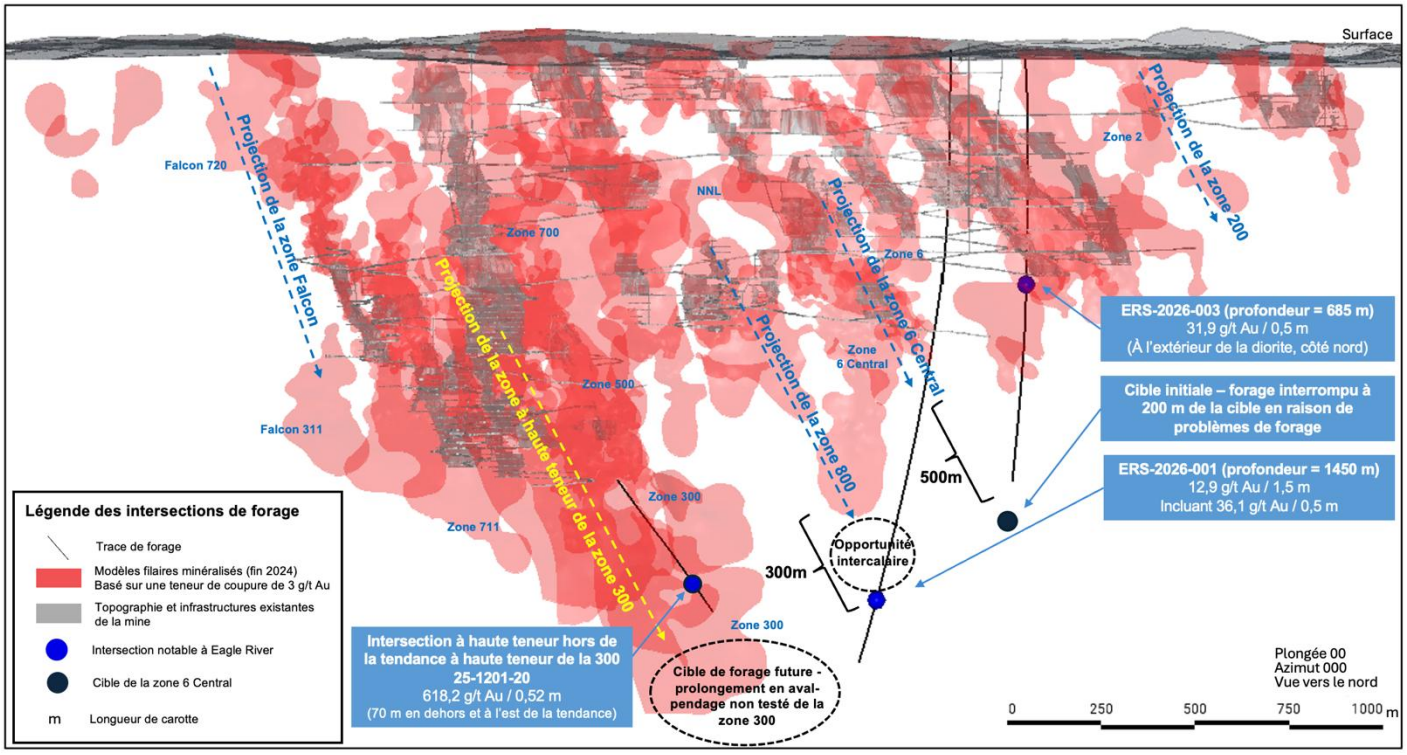


Figure 8 : Eagle River – Section longitudinale de Mishi (regard vers le nord)

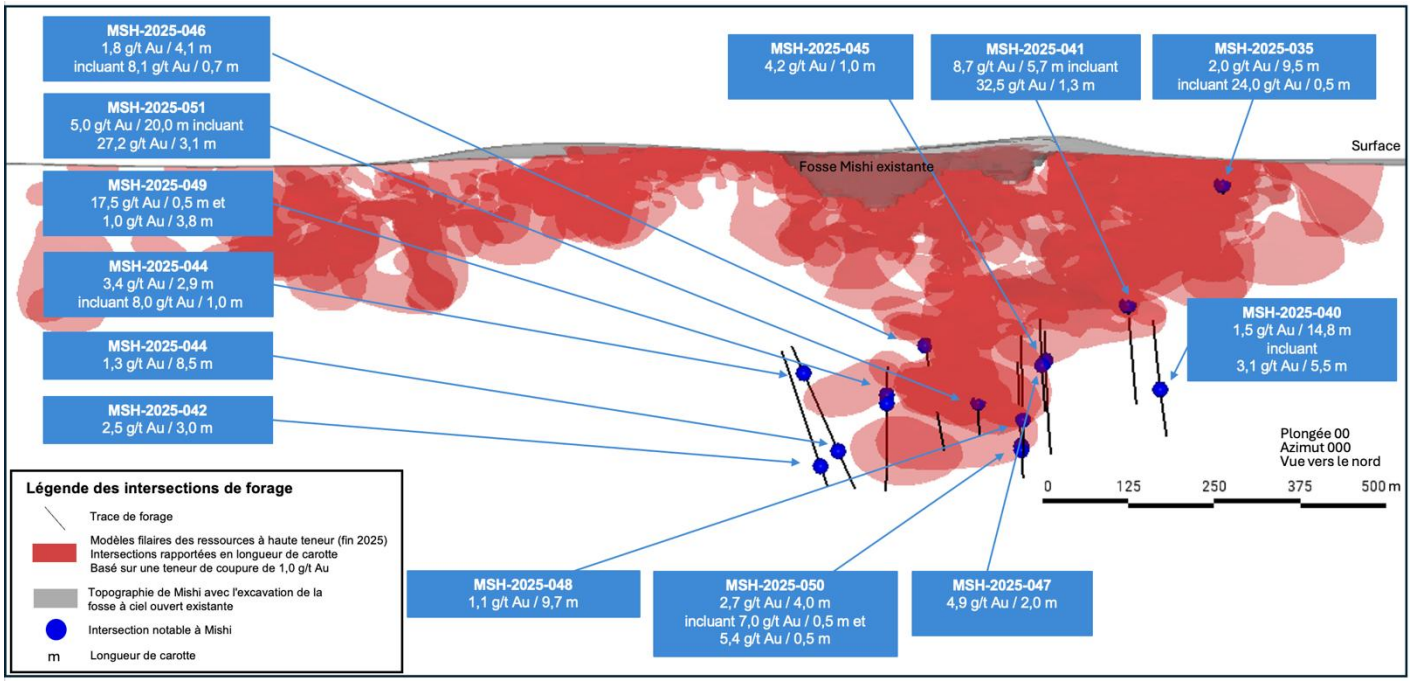


Figure 9 : Eagle River – Section longitudinale de la formation de fer de Cameron Lake (regard vers le nord)

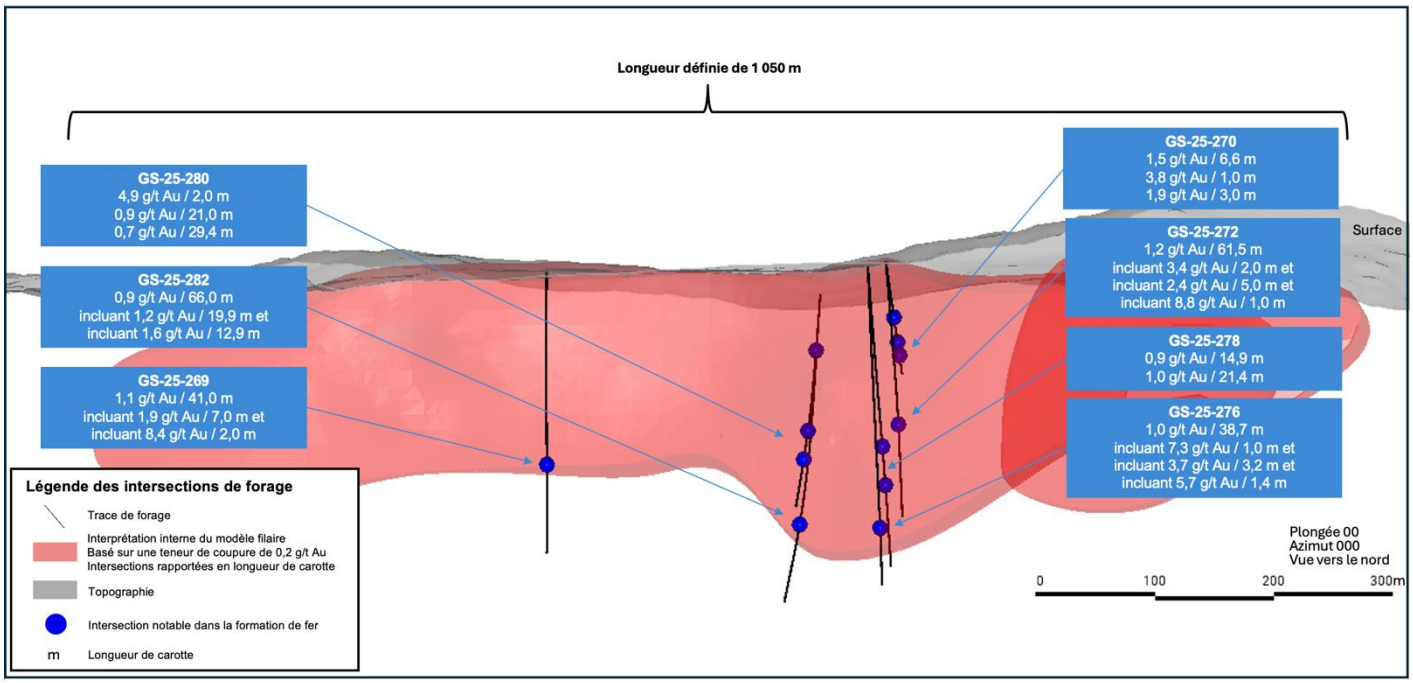


Tableau 1 : Résultats composites de forage de Kiena et Eagle River (non publiés antérieurement)

Les montants figurant dans le tableau peuvent différer des totaux en raison des arrondissements

Sondage n°	De (m)	À (m)	Longueur de carotte (m)	Épaisseur vraie estimée (m)	Teneur (g/t Au)	Teneur de coupure (g/t Au)	Cible
Kiena Deep							
N033-7188	292,5	296,0	3,5	-	9,2	9,2	-
N109-7204	74,5	81,5	7,0	-	6,4	6,4	-
N127-7156	130,5	133,5	3,0	-	7,6	7,6	-
N134-7144	221,0	225,3	4,3	3,2	6,1	6,1	Zone de basalte 1
N134-7152	316,3	320,0	3,7	3,2	7,0	7,0	-
N134-7152	429,5	432,9	3,4	3,0	33,9	33,9	Zone A
N134-7152	464,0	468,7	4,7	4,1	8,5	8,5	Zone A1
N134-7152	473,4	477,7	4,3	3,8	52,2	32,7	Zone A2
N134-7152	525,8	528,5	2,7	2,4	16,1	16,1	Éponte de Norbenite
N134-7152W1	269,5	272,8	3,3	2,7	67,9	44,8	Zone A2
N134-7152W1	287,8	329,9	42,1	34,8	6,9	6,9	Éponte de Norbenite
incluant	287,8	317,3	29,5	24,4	8,3	8,3	Éponte de Norbenite
N130-K046	86,2	89,8	3,6	1,0	58,8	43,4	Zone A1
N134-K004	123,3	130,7	7,4	1,7	41,2	38,5	Zone A
N134-K022	140,2	142,7	2,5	0,7	124,1	64,5	Zone A2-223
N134-K023	113,5	117,5	4,0	1,7	74,4	45,2	Zone A
N134-K023	126,2	129,2	3,0	1,3	20,5	20,5	Zone A1
N134-K023	132,2	135,8	3,6	1,6	49,7	26,9	Zone A2-223
Mishi							
MSH-2025-035	7,0	16,5	9,5	9,2	2,0	2,0	Mishi
incluant	11,5	12,0	0,5	0,5	24,0	24,0	Mishi
MSH-2025-040	349,2	364,0	14,8	14,4	1,5	1,5	Mishi
incluant	353,5	359,0	5,5	5,3	3,1	3,1	Mishi
MSH-2025-041	207,0	212,7	5,7	5,1	8,7	8,7	Mishi
incluant	211,5	212,7	1,3	1,1	32,5	32,5	Mishi
MSH-2025-042	467,0	470,0	3,0	2,6	2,5	2,5	Mishi
MSH-2025-044	326,6	329,5	2,9	2,3	3,4	3,4	Mishi
MSH-2025-044	450,7	459,2	8,5	6,6	1,3	1,3	Mishi

Sondage nº	De (m)	À (m)	Longueur de carotte (m)	Épaisseur vraie estimée (m)	Teneur (g/t Au)	Teneur de coupure (g/t Au)	Cible
MSH-2025-045	289,0	290,0	1,0	0,9	4,2	4,2	Mishi
MSH-2025-046	264,7	268,8	4,1	3,6	1,8	1,8	Mishi
Mishi							
MSH-2025-047	309,4	311,4	2,0	1,9	4,9	4,9	Mishi
MSH-2025-048	380,3	390,0	9,7	9,2	1,1	1,1	Mishi
MSH-2025-049	344,0	344,5	0,5	0,5	17,5	17,5	Mishi
MSH-2025-049	356,1	359,9	3,8	3,6	1,0	1,0	Mishi
MSH-2025-050	444,4	448,4	4,0	3,9	2,7	2,7	Mishi
MSH-2025-050	453,5	454,0	0,5	0,5	5,4	5,4	Mishi
MSH-2025-051	370,2	390,2	20,0	19,5	5,0	4,2	Mishi
incluant	387,1	390,2	3,1	3,0	27,2	21,8	Mishi
Formation de fer de Cameron Lake							
GS-25-269	**133,0**	**174,0**	**41,0**		**1,1**		Formation de fer
incluant	152,0	159,0	7,0		1,9		Formation de fer
incluant	172,0	174,0	2,0		8,4		Formation de fer
GS-25-272	101,1	162,6	61,5		1,2		Formation de fer
incluant	103,1	105,1	2,0		3,4		Formation de fer
incluant	117,0	122,0	5,0		2,4		Formation de fer
incluant	132,0	133,0	1,0		8,8		Formation de fer
GS-25-276	208,0	246,7	38,7		1,0		Formation de fer
incluant	208,0	209,0	1,0		7,3		Formation de fer
incluant	220,3	223,5	3,2		3,7		Formation de fer
incluant	221,3	222,7	1,4		5,7		Formation de fer
GS-25-278	186,9	208,3	21,4		1,0		Formation de fer
GS-25-282	180,0	246,0	66,0		0,9		Formation de fer
incluant	180,0	199,9	19,9		1,2		Formation de fer
incluant	220,1	233,0	12,9		1,6		Formation de fer

Zone 800, zone 6 Central Deep, zone 300

ERS-2026-001	1514	1516	1,50		12,9	12,9	Zone 800 Deep
incluant	1515	1515,5	0,50		36,1	36,1	Zone 800 Deep
ERS-2026-003	605	605,5	0,50	0,16	31,9	31,9	6 Central Deep
25-1201-20	583,8	584,32	0,52	0,23	618,23	100,0	Zone 300

Tableau 2 : Résultats d'analyses des forages de Kiena et Eagle River (non publiés antérieurement)

Les montants figurant dans le tableau peuvent différer des totaux en raison des arrondissements

Kiena Deep

Sondage n°	De (m)	À (m)	Longueur de carotte (m)	Teneur (g/t Au)	Teneur de coupure (g/t Au)	Cible
N033-7188	292,5	294,0	1,5	20,3	20,3	-
N033-7188	294,0	295,4	1,4	0,9	0,9	-
N033-7188	295,4	296,0	0,6	0,6	0,6	-
N109-7204	74,5	76,0	1,5	9,9	9,9	-
N109-7204	76,0	77,5	1,5	4,6	4,6	-
N109-7204	77,5	78,5	1,0	4,2	4,2	-
N109-7204	78,5	79,5	1,0	7,6	7,6	-
N109-7204	79,5	80,5	1,0	3,4	3,4	-
N109-7204	80,5	81,5	1,0	7,9	7,9	-
N127-7156	130,5	132,0	1,5	0,5	0,5	-
N127-7156	132,0	133,5	1,5	14,7	14,7	-
N134-7144	221,0	222,0	1,0	13,1	13,1	Zone de basalte 1
N134-7144	222,0	223,0	1,0	1,0	1,0	Zone de basalte 1
N134-7144	223,0	224,0	1,0	0,1	0,1	Zone de basalte 1
N134-7144	224,0	225,3	1,3	9,2	9,2	Zone de basalte 1
N134-7152	316,3	317,3	1,0	3,3	3,3	-
N134-7152	317,3	318,0	0,7	8,6	8,6	-
N134-7152	318,0	319,0	1,0	13,2	13,2	-
N134-7152	319,0	320,0	1,0	3,3	3,3	-
N134-7152	429,5	430,0	0,5	3,2	3,2	Zone A
N134-7152	430,0	430,8	0,8	45,6	45,6	Zone A
N134-7152	430,8	431,4	0,6	4,6	4,6	Zone A
N134-7152	431,4	432,0	0,6	6,1	6,1	Zone A
N134-7152	432,0	432,9	0,9	78,6	78,6	Zone A
N134-7152	464,0	465,0	1,0	5,6	5,6	Zone A1
N134-7152	465,0	466,0	1,0	27,7	27,7	Zone A1
N134-7152	466,0	467,0	1,0	0,3	0,3	Zone A1
N134-7152	467,0	467,7	0,7	1,7	1,7	Zone A1
N134-7152	467,7	468,2	0,5	0,6	0,6	Zone A1
N134-7152	468,2	468,7	0,5	9,9	9,9	Zone A1
N134-7152	473,4	474,0	0,6	35,7	35,7	Zone A2
N134-7152	474,0	474,6	0,6	7,3	7,3	Zone A2

Sondage nº	De (m)	À (m)	Longueur de carotte (m)	Teneur (g/t Au)	Teneur de coupure (g/t Au)	Cible
N134-7152	474,6	475,6	1,0	7,3	7,3	Zone A2
N134-7152	475,6	476,1	0,5	2,6	2,6	Zone A2
N134-7152	476,1	477,0	0,9	183,0	90,0	Zone A2
N134-7152	477,0	477,7	0,7	36,1	36,1	Zone A2
N134-7152	525,8	526,4	0,6	2,1	2,1	Éponte de Norbenite
N134-7152	526,4	526,9	0,5	0,3	0,3	Éponte de Norbenite
N134-7152	526,9	527,9	1,0	39,2	39,2	Éponte de Norbenite
N134-7152	527,9	528,5	0,6	4,9	4,9	Éponte de Norbenite
N134-7152W1	269,5	270,6	1,1	28,6	28,6	Zone A2
N134-7152W1	270,6	271,1	0,5	2,8	2,8	Zone A2
N134-7152W1	271,1	271,8	0,7	35,9	35,9	Zone A2
N134-7152W1	271,8	272,8	1,0	166,0	90,0	Zone A2
N134-7152W1	287,8	288,8	1,0	6,0	6,0	Éponte de Norbenite
N134-7152W1	288,8	289,6	0,8	2,9	2,9	Éponte de Norbenite
N134-7152W1	289,6	290,3	0,7	12,1	12,1	Éponte de Norbenite
N134-7152W1	290,3	290,9	0,6	7,2	7,2	Éponte de Norbenite
N134-7152W1	290,9	291,4	0,5	3,0	3,0	Éponte de Norbenite
N134-7152W1	291,4	292,0	0,6	3,7	3,7	Éponte de Norbenite
N134-7152W1	292,0	292,6	0,6	5,1	5,1	Éponte de Norbenite
N134-7152W1	292,6	293,5	0,9	4,8	4,8	Éponte de Norbenite
N134-7152W1	293,5	294,2	0,7	11,1	11,1	Éponte de Norbenite
N134-7152W1	294,2	294,8	0,6	5,2	5,2	Éponte de Norbenite
N134-7152W1	294,8	295,4	0,6	5,1	5,1	Éponte de Norbenite
N134-7152W1	295,4	296,4	1,0	5,2	5,2	Éponte de Norbenite
N134-7152W1	296,4	297,1	0,7	2,1	2,1	Éponte de Norbenite
N134-7152W1	297,1	297,8	0,7	4,2	4,2	Éponte de Norbenite
N134-7152W1	297,8	298,4	0,6	5,3	5,3	Éponte de Norbenite
N134-7152W1	298,4	299,3	0,9	11,1	11,1	Éponte de Norbenite
N134-7152W1	299,3	300,1	0,8	6,2	6,2	Éponte de Norbenite
N134-7152W1	300,1	300,8	0,7	9,7	9,7	Éponte de Norbenite
N134-7152W1	300,8	301,6	0,8	8,0	8,0	Éponte de Norbenite
N134-7152W1	301,6	302,3	0,7	8,9	8,9	Éponte de Norbenite
N134-7152W1	302,3	303,0	0,7	5,4	5,4	Éponte de Norbenite
N134-7152W1	303,0	303,7	0,7	4,9	4,9	Éponte de Norbenite
N134-7152W1	303,7	304,3	0,6	9,5	9,5	Éponte de Norbenite
N134-7152W1	304,3	305,0	0,7	11,4	11,4	Éponte de Norbenite

Sondage nº	De (m)	À (m)	Longueur de carotte (m)	Teneur (g/t Au)	Teneur de coupure (g/t Au)	Cible
N134-7152W1	305,0	305,6	0,6	3,1	3,1	Éponte de Norbenite
N134-7152W1	305,6	306,2	0,6	7,8	7,8	Éponte de Norbenite
N134-7152W1	306,2	307,0	0,8	15,9	15,9	Éponte de Norbenite
N134-7152W1	307,0	307,8	0,8	5,3	5,3	Éponte de Norbenite
N134-7152W1	307,8	308,6	0,8	7,4	7,4	Éponte de Norbenite
N134-7152W1	308,6	309,5	0,9	9,7	9,7	Éponte de Norbenite
N134-7152W1	309,5	310,0	0,5	7,0	7,0	Éponte de Norbenite
N134-7152W1	310,0	310,5	0,5	4,8	4,8	Éponte de Norbenite
N134-7152W1	310,5	311,2	0,7	5,9	5,9	Éponte de Norbenite
N134-7152W1	311,2	311,8	0,6	6,2	6,2	Éponte de Norbenite
N134-7152W1	311,8	312,3	0,5	20,1	20,1	Éponte de Norbenite
N134-7152W1	312,3	313,3	1,0	5,7	5,7	Éponte de Norbenite
N134-7152W1	313,3	313,9	0,6	38,3	38,3	Éponte de Norbenite
N134-7152W1	313,9	314,8	0,9	3,9	3,9	Éponte de Norbenite
N134-7152W1	314,8	315,4	0,6	41,5	41,5	Éponte de Norbenite
N134-7152W1	315,4	316,0	0,6	7,0	7,0	Éponte de Norbenite
N134-7152W1	316,0	316,8	0,8	7,1	7,1	Éponte de Norbenite
N134-7152W1	316,8	317,3	0,5	5,8	5,8	Éponte de Norbenite
N134-7152W1	317,3	317,9	0,6	1,4	1,4	Éponte de Norbenite
N134-7152W1	317,9	318,5	0,6	4,7	4,7	Éponte de Norbenite
N134-7152W1	318,5	319,3	0,8	0,3	0,3	Éponte de Norbenite
N134-7152W1	319,3	319,8	0,5	2,1	2,1	Éponte de Norbenite
N134-7152W1	319,8	320,3	0,5	2,7	2,7	Éponte de Norbenite
N134-7152W1	320,3	320,8	0,5	1,8	1,8	Éponte de Norbenite
N134-7152W1	320,8	321,3	0,5	6,4	6,4	Éponte de Norbenite
N134-7152W1	321,3	321,8	0,5	2,0	2,0	Éponte de Norbenite
N134-7152W1	321,8	322,3	0,5	5,4	5,4	Éponte de Norbenite
N134-7152W1	322,3	322,8	0,5	0,6	0,6	Éponte de Norbenite
N134-7152W1	322,8	323,6	0,8	12,7	12,7	Éponte de Norbenite
N134-7152W1	323,6	324,3	0,7	9,3	9,3	Éponte de Norbenite
N134-7152W1	324,3	324,9	0,6	0,5	0,5	Éponte de Norbenite
N134-7152W1	324,9	325,5	0,6	3,0	3,0	Éponte de Norbenite
N134-7152W1	325,5	326,5	1,0	1,0	1,0	Éponte de Norbenite
N134-7152W1	326,5	327,1	0,6	1,6	1,6	Éponte de Norbenite
N134-7152W1	327,1	327,8	0,7	4,2	4,2	Éponte de Norbenite
N134-7152W1	327,8	328,3	0,5	7,6	7,6	Éponte de Norbenite

Sondage nº	De (m)	À (m)	Longueur de carotte (m)	Teneur (g/t Au)	Teneur de coupure (g/t Au)	Cible
N134-7152W1	328,3	329,1	0,8	0,9	0,9	Éponte de Norbenite
N134-7152W1	329,1	329,9	0,8	3,4	3,4	Éponte de Norbenite
N130-K046	86,2	86,8	0,6	0,0	0,0	Zone A1
N130-K046	86,8	87,7	0,9	131,5	90,0	Zone A1
N130-K046	87,7	88,3	0,6	4,6	4,6	Zone A1
N130-K046	88,3	89,0	0,7	0,9	0,9	Zone A1
N130-K046	89,0	89,8	0,8	112,5	90,0	Zone A1
N134-K004	123,3	124,0	0,7	104,0	90,0	Zone A
N134-K004	124,0	124,5	0,5	6,2	6,2	Zone A
N134-K004	124,5	125,2	0,7	2,7	2,7	Zone A
N134-K004	125,2	125,9	0,7	1,5	1,5	Zone A
N134-K004	125,9	126,8	0,9	101,5	90,0	Zone A
N134-K004	126,8	127,8	1,0	35,6	35,6	Zone A
N134-K004	127,8	128,3	0,5	26,5	26,5	Zone A
N134-K004	128,3	129,2	0,9	73,5	73,5	Zone A
N134-K004	129,2	130,0	0,8	7,4	7,4	Zone A
N134-K004	130,0	130,7	0,7	20,0	20,0	Zone A
N134-K022	140,2	140,7	0,5	4,0	4,0	Zone A2-223
N134-K022	140,7	141,7	1,0	239,0	90,0	Zone A2-223
N134-K022	141,7	142,7	1,0	69,3	69,3	Zone A2-223
N134-K023	113,5	114,5	1,0	157,5	90,0	Zone A
N134-K023	114,5	115,5	1,0	0,7	0,7	Zone A
N134-K023	115,5	116,5	1,0	0,0	0,0	Zone A
N134-K023	116,5	117,5	1,0	139,5	90,0	Zone A
N134-K023	126,2	127,2	1,0	44,9	44,9	Zone A1
N134-K023	127,2	127,7	0,5	7,2	7,2	Zone A1
N134-K023	127,7	128,2	0,5	12,3	12,3	Zone A1
N134-K023	128,2	129,2	1,0	6,9	6,9	Zone A1
N134-K023	132,2	133,2	1,0	172,0	90,0	Zone A2-223
N134-K023	133,2	134,2	1,0	1,1	1,1	Zone A2-223
N134-K023	134,2	135,2	1,0	2,4	2,4	Zone A2-223
N134-K023	135,2	135,8	0,6	5,5	5,5	Zone A2-223
N033-7188	292,5	294,0	1,5	20,3	20,3	-
N033-7188	294,0	295,4	1,4	0,9	0,9	-
N033-7188	295,4	296,0	0,6	0,6	0,6	-
N109-7204	74,5	76,0	1,5	9,9	9,9	-

Sondage nº	De (m)	À (m)	Longueur de carotte (m)	Teneur (g/t Au)	Teneur de coupure (g/t Au)	Cible
N109-7204	76,0	77,5	1,5	4,6	4,6	-
N109-7204	77,5	78,5	1,0	4,2	4,2	-
N109-7204	78,5	79,5	1,0	7,6	7,6	-
N109-7204	79,5	80,5	1,0	3,4	3,4	-
N109-7204	80,5	81,5	1,0	7,9	7,9	-
N127-7156	130,5	132,0	1,5	0,5	0,5	-
N127-7156	132,0	133,5	1,5	14,7	14,7	-
N134-7144	221,0	222,0	1,0	13,1	13,1	Zone A1
N134-7144	222,0	223,0	1,0	1,0	1,0	Zone A1
N134-7144	223,0	224,0	1,0	0,1	0,1	Zone A1
N134-7144	224,0	225,3	1,3	9,2	9,2	Zone A1
N134-7152	316,3	317,3	1,0	3,3	3,3	-
N134-7152	317,3	318,0	0,7	8,6	8,6	-
N134-7152	318,0	319,0	1,0	13,2	13,2	-
N134-7152	319,0	320,0	1,0	3,3	3,3	-
N134-7152	429,5	430,0	0,5	3,2	3,2	Zone A
N134-7152	430,0	430,8	0,8	45,6	45,6	Zone A
N134-7152	430,8	431,4	0,6	4,6	4,6	Zone A
N134-7152	431,4	432,0	0,6	6,1	6,1	Zone A
N134-7152	432,0	432,9	0,9	78,6	78,6	Zone A
N134-7152	464,0	465,0	1,0	5,6	5,6	Zone A1
N134-7152	465,0	466,0	1,0	27,7	27,7	Zone A1
N134-7152	466,0	467,0	1,0	0,3	0,3	Zone A1
N134-7152	467,0	467,7	0,7	1,7	1,7	Zone A1
N134-7152	467,7	468,2	0,5	0,6	0,6	Zone A1
N134-7152	468,2	468,7	0,5	9,9	9,9	Zone A1
N134-7152	473,4	474,0	0,6	35,7	35,7	Zone A2
N134-7152	474,0	474,6	0,6	7,3	7,3	Zone A2
N134-7152	474,6	475,6	1,0	7,3	7,3	Zone A2
N134-7152	475,6	476,1	0,5	2,6	2,6	Zone A2
N134-7152	476,1	477,0	0,9	183,0	90,0	Zone A2
N134-7152	477,0	477,7	0,7	36,1	36,1	Zone A2
N134-7152	525,8	526,4	0,6	2,1	2,1	-
N134-7152	526,4	526,9	0,5	0,3	0,3	-
N134-7152	526,9	527,9	1,0	39,2	39,2	-
N134-7152	527,9	528,5	0,6	4,9	4,9	-

Sondage nº	De (m)	À (m)	Longueur de carotte (m)	Teneur (g/t Au)	Teneur de coupure (g/t Au)	Cible
N134-7152W1	269,5	270,6	1,1	28,6	28,6	Zone A2
N134-7152W1	270,6	271,1	0,5	2,8	2,8	Zone A2
N134-7152W1	271,1	271,8	0,7	35,9	35,9	Zone A2
N134-7152W1	271,8	272,8	1,0	166,0	90,0	Zone A2
N134-7152W1	287,8	288,8	1,0	6,0	6,0	-
N134-7152W1	288,8	289,6	0,8	2,9	2,9	-
N134-7152W1	289,6	290,3	0,7	12,1	12,1	-
N134-7152W1	290,3	290,9	0,6	7,2	7,2	-
N134-7152W1	290,9	291,4	0,5	3,0	3,0	-
N134-7152W1	291,4	292,0	0,6	3,7	3,7	-
N134-7152W1	292,0	292,6	0,6	5,1	5,1	-
N134-7152W1	292,6	293,5	0,9	4,8	4,8	-
N134-7152W1	293,5	294,2	0,7	11,1	11,1	-
N134-7152W1	294,2	294,8	0,6	5,2	5,2	-
N134-7152W1	294,8	295,4	0,6	5,1	5,1	-
N134-7152W1	295,4	296,4	1,0	5,2	5,2	-
N134-7152W1	296,4	297,1	0,7	2,1	2,1	-
N134-7152W1	297,1	297,8	0,7	4,2	4,2	-
N134-7152W1	297,8	298,4	0,6	5,3	5,3	-
N134-7152W1	298,4	299,3	0,9	11,1	11,1	-
N134-7152W1	299,3	300,1	0,8	6,2	6,2	-
N134-7152W1	300,1	300,8	0,7	9,7	9,7	-
N134-7152W1	300,8	301,6	0,8	8,0	8,0	-
N134-7152W1	301,6	302,3	0,7	8,9	8,9	-
N134-7152W1	302,3	303,0	0,7	5,4	5,4	-
N134-7152W1	303,0	303,7	0,7	4,9	4,9	-
N134-7152W1	303,7	304,3	0,6	9,5	9,5	-
N134-7152W1	304,3	305,0	0,7	11,4	11,4	-
N134-7152W1	305,0	305,6	0,6	3,1	3,1	-
N134-7152W1	305,6	306,2	0,6	7,8	7,8	-
N134-7152W1	306,2	307,0	0,8	15,9	15,9	-
N134-7152W1	307,0	307,8	0,8	5,3	5,3	-
N134-7152W1	307,8	308,6	0,8	7,4	7,4	-
N134-7152W1	308,6	309,5	0,9	9,7	9,7	-
N134-7152W1	309,5	310,0	0,5	7,0	7,0	-
N134-7152W1	310,0	310,5	0,5	4,8	4,8	-

Sondage nº	De (m)	À (m)	Longueur de carotte (m)	Teneur (g/t Au)	Teneur de coupure (g/t Au)	Cible
N134-7152W1	310,5	311,2	0,7	5,9	5,9	-
N134-7152W1	311,2	311,8	0,6	6,2	6,2	-
N134-7152W1	311,8	312,3	0,5	20,1	20,1	-
N134-7152W1	312,3	313,3	1,0	5,7	5,7	-
N134-7152W1	313,3	313,9	0,6	38,3	38,3	-
N134-7152W1	313,9	314,8	0,9	3,9	3,9	-
N134-7152W1	314,8	315,4	0,6	41,5	41,5	-
N134-7152W1	315,4	316,0	0,6	7,0	7,0	-
N134-7152W1	316,0	316,8	0,8	7,1	7,1	-
N134-7152W1	316,8	317,3	0,5	5,8	5,8	-
N134-7152W1	317,3	317,9	0,6	1,4	1,4	-
N134-7152W1	317,9	318,5	0,6	4,7	4,7	-
N134-7152W1	318,5	319,3	0,8	0,3	0,3	-
N134-7152W1	319,3	319,8	0,5	2,1	2,1	-
N134-7152W1	319,8	320,3	0,5	2,7	2,7	-
N134-7152W1	320,3	320,8	0,5	1,8	1,8	-
N134-7152W1	320,8	321,3	0,5	6,4	6,4	-
N134-7152W1	321,3	321,8	0,5	2,0	2,0	-
N134-7152W1	321,8	322,3	0,5	5,4	5,4	-
N134-7152W1	322,3	322,8	0,5	0,6	0,6	-
N134-7152W1	322,8	323,6	0,8	12,7	12,7	-
N134-7152W1	323,6	324,3	0,7	9,3	9,3	-
N134-7152W1	324,3	324,9	0,6	0,5	0,5	-
N134-7152W1	324,9	325,5	0,6	3,0	3,0	-
N134-7152W1	325,5	326,5	1,0	1,0	1,0	-
N134-7152W1	326,5	327,1	0,6	1,6	1,6	-
N134-7152W1	327,1	327,8	0,7	4,2	4,2	-
N134-7152W1	327,8	328,3	0,5	7,6	7,6	-
N134-7152W1	328,3	329,1	0,8	0,9	0,9	-
N134-7152W1	329,1	329,9	0,8	3,4	3,4	-
N130-K046	86,2	86,8	0,6	0,0	0,0	Zone A1
N130-K046	86,8	87,7	0,9	131,5	90,0	Zone A1
N130-K046	87,7	88,3	0,6	4,6	4,6	Zone A1
N130-K046	88,3	89,0	0,7	0,9	0,9	Zone A1
N130-K046	89,0	89,8	0,8	112,5	90,0	Zone A1
N134-K004	123,3	124,0	0,7	104,0	90,0	Zone A

Sondage nº	De (m)	À (m)	Longueur de carotte (m)	Teneur (g/t Au)	Teneur de coupure (g/t Au)	Cible
N134-K004	124,0	124,5	0,5	6,2	6,2	Zone A
N134-K004	124,5	125,2	0,7	2,7	2,7	Zone A
N134-K004	125,2	125,9	0,7	1,5	1,5	Zone A
N134-K004	125,9	126,8	0,9	101,5	90,0	Zone A
N134-K004	126,8	127,8	1,0	35,6	35,6	Zone A
N134-K004	127,8	128,3	0,5	26,5	26,5	Zone A
N134-K004	128,3	129,2	0,9	73,5	73,5	Zone A
N134-K004	129,2	130,0	0,8	7,4	7,4	Zone A
N134-K004	130,0	130,7	0,7	20,0	20,0	Zone A
N134-K022	140,2	140,7	0,5	4,0	4,0	Zone A2-223
N134-K022	140,7	141,7	1,0	239,0	90,0	Zone A2-223
N134-K022	141,7	142,7	1,0	69,3	69,3	Zone A2-223
N134-K023	113,5	114,5	1,0	157,5	90,0	Zone A
N134-K023	114,5	115,5	1,0	0,7	0,7	Zone A
N134-K023	115,5	116,5	1,0	0,0	0,0	Zone A
N134-K023	116,5	117,5	1,0	139,5	90,0	Zone A
N134-K023	126,2	127,2	1,0	44,9	44,9	Zone A1
N134-K023	127,2	127,7	0,5	7,2	7,2	Zone A1
N134-K023	127,7	128,2	0,5	12,3	12,3	Zone A1
N134-K023	128,2	129,2	1,0	6,9	6,9	Zone A1
N134-K023	132,2	133,2	1,0	172,0	90,0	Zone A2-223
N134-K023	133,2	134,2	1,0	1,1	1,1	Zone A2-223
N134-K023	134,2	135,2	1,0	2,4	2,4	Zone A2-223
N134-K023	135,2	135,8	0,6	5,5	5,5	Zone A2-223

Mishi

Sondage nº	De (m)	À (m)	Longueur de carotte (m)	Teneur (g/t Au)	Teneur de coupure (g/t Au)	Cible
MSH-2025-035	7,0	7,5	0,5	2,8	2,8	Mishi
MSH-2025-035	7,5	8,2	0,7	1,2	1,2	Mishi
MSH-2025-035	8,2	9,2	1,0	0,6	0,6	Mishi
MSH-2025-035	9,2	9,8	0,6	0,8	0,8	Mishi
MSH-2025-035	9,8	10,4	0,5	0,1	0,1	Mishi
MSH-2025-035	10,4	11,0	0,6	0,8	0,8	Mishi
MSH-2025-035	11,0	11,5	0,6	0,5	0,5	Mishi
MSH-2025-035	11,5	12,0	0,5	24,0	24,0	Mishi

Sondage nº	De (m)	À (m)	Longueur de carotte (m)	Teneur (g/t Au)	Teneur de coupure (g/t Au)	Cible
MSH-2025-035	12,0	12,5	0,5	1,2	1,2	Mishi
MSH-2025-035	12,5	13,0	0,5	0,9	0,9	Mishi
MSH-2025-035	13,0	13,7	0,7	1,4	1,4	Mishi
MSH-2025-035	13,7	14,7	1,0	0,1	0,1	Mishi
MSH-2025-035	14,7	15,5	0,9	0,1	0,1	Mishi
MSH-2025-035	15,5	16,0	0,5	0,0	0,0	Mishi
MSH-2025-035	16,0	16,5	0,5	1,0	1,0	Mishi
MSH-2025-040	349,2	350,0	0,8	0,2	0,2	Mishi
MSH-2025-040	350,0	350,9	0,9	0,2	0,2	Mishi
MSH-2025-040	350,9	351,6	0,7	0,2	0,2	Mishi
MSH-2025-040	351,6	352,6	1,0	1,3	1,3	Mishi
MSH-2025-040	352,6	353,5	0,9	0,7	0,7	Mishi
MSH-2025-040	353,5	354,0	0,5	7,7	7,7	Mishi
MSH-2025-040	354,0	355,0	1,0	3,1	3,1	Mishi
MSH-2025-040	355,0	356,0	1,0	3,5	3,5	Mishi
MSH-2025-040	356,0	357,0	1,0	2,5	2,5	Mishi
MSH-2025-040	357,0	358,0	1,0	2,2	2,2	Mishi
MSH-2025-040	358,0	359,0	1,0	1,9	1,9	Mishi
MSH-2025-040	359,0	360,0	1,0	0,5	0,5	Mishi
MSH-2025-040	360,0	361,0	1,0	0,5	0,5	Mishi
MSH-2025-040	361,0	362,0	1,0	0,5	0,5	Mishi
MSH-2025-040	362,0	363,0	1,0	1,1	1,1	Mishi
MSH-2025-040	363,0	364,0	1,0	0,4	0,4	Mishi
MSH-2025-040	364,0	365,0	1,0	0,0	0,0	Mishi
MSH-2025-041	207,0	207,6	0,6	13,6	13,6	Mishi
MSH-2025-041	207,6	208,1	0,5	1,3	1,3	Mishi
MSH-2025-041	208,1	208,6	0,5	0,2	0,2	Mishi
MSH-2025-041	208,6	209,1	0,5	0,1	0,1	Mishi
MSH-2025-041	209,1	209,6	0,5	0,2	0,2	Mishi
MSH-2025-041	209,6	210,2	0,6	0,3	0,3	Mishi
MSH-2025-041	210,2	210,9	0,8	0,7	0,7	Mishi
MSH-2025-041	210,9	211,5	0,5	0,1	0,1	Mishi
MSH-2025-041	211,5	212,0	0,6	18,3	18,3	Mishi
MSH-2025-041	212,0	212,7	0,7	43,7	43,7	Mishi
MSH-2025-042	467,0	467,5	0,5	1,7	1,7	Mishi
MSH-2025-042	467,5	468,0	0,5	5,2	5,2	Mishi

Sondage nº	De (m)	À (m)	Longueur de carotte (m)	Teneur (g/t Au)	Teneur de coupure (g/t Au)	Cible
MSH-2025-042	468,0	468,5	0,5	3,2	3,2	Mishi
MSH-2025-042	468,5	469,0	0,5	2,8	2,8	Mishi
MSH-2025-042	469,0	469,5	0,5	1,0	1,0	Mishi
MSH-2025-042	469,5	470,0	0,5	1,3	1,3	Mishi
MSH-2025-044	326,6	327,2	0,6	1,2	1,2	Mishi
MSH-2025-044	327,2	327,7	0,5	0,4	0,4	Mishi
MSH-2025-044	327,7	328,7	1,0	8,0	8,0	Mishi
MSH-2025-044	328,7	329,5	0,8	1,3	1,3	Mishi
MSH-2025-044	329,5	330,3	0,8	0,7	0,7	Mishi
MSH-2025-044	450,7	451,3	0,6	1,6	1,6	Mishi
MSH-2025-044	451,3	452,0	0,7	0,2	0,2	Mishi
MSH-2025-044	452,0	453,0	1,0	0,6	0,6	Mishi
MSH-2025-044	453,0	453,7	0,7	1,4	1,4	Mishi
MSH-2025-044	453,7	454,7	1,0	0,4	0,4	Mishi
MSH-2025-044	454,7	455,3	0,6	2,0	2,0	Mishi
MSH-2025-044	455,3	456,0	0,7	0,6	0,6	Mishi
MSH-2025-044	456,0	457,0	1,0	1,8	1,8	Mishi
MSH-2025-044	457,0	458,0	1,0	1,2	1,2	Mishi
MSH-2025-044	458,0	458,6	0,6	0,6	0,6	Mishi
MSH-2025-044	458,6	459,2	0,6	4,9	4,9	Mishi
MSH-2025-044	459,2	460,0	0,8	0,4	0,4	Mishi
MSH-2025-045	289,0	290,0	1,0	4,2	4,2	Mishi
MSH-2025-046	264,7	265,2	0,5	0,7	0,7	Mishi
MSH-2025-046	265,2	265,8	0,6	0,1	0,1	Mishi
MSH-2025-046	265,8	266,4	0,6	0,2	0,2	Mishi
MSH-2025-046	266,4	266,9	0,5	1,4	1,4	Mishi
MSH-2025-046	266,9	267,6	0,7	8,1	8,1	Mishi
MSH-2025-046	267,6	268,2	0,6	0,5	0,5	Mishi
MSH-2025-046	268,2	268,8	0,6	0,4	0,4	Mishi
MSH-2025-047	309,4	310,2	0,8	3,3	3,3	Mishi
MSH-2025-047	310,2	310,8	0,6	1,4	1,4	Mishi
MSH-2025-047	310,8	311,4	0,6	10,6	10,6	Mishi
MSH-2025-048	380,3	381,0	0,7	1,1	1,1	Mishi
MSH-2025-048	381,0	382,0	1,0	2,7	2,7	Mishi
MSH-2025-048	382,0	383,0	1,0	1,0	1,0	Mishi
MSH-2025-048	383,0	384,0	1,0	3,2	3,2	Mishi

Sondage nº	De (m)	À (m)	Longueur de carotte (m)	Teneur (g/t Au)	Teneur de coupure (g/t Au)	Cible
MSH-2025-048	384,0	385,0	1,0	0,4	0,4	Mishi
MSH-2025-048	385,0	386,0	1,0	1,0	1,0	Mishi
MSH-2025-048	386,0	387,0	1,0	0,4	0,4	Mishi
MSH-2025-048	387,0	388,0	1,0	0,3	0,3	Mishi
MSH-2025-048	388,0	389,0	1,0	0,1	0,1	Mishi
MSH-2025-048	389,0	390,0	1,0	1,1	1,1	Mishi
MSH-2025-049	344,0	344,5	0,5	17,5	17,5	Mishi
MSH-2025-049	356,1	357,0	0,9	1,0	1,0	Mishi
MSH-2025-049	357,0	357,5	0,5	0,1	0,1	Mishi
MSH-2025-049	357,5	358,4	0,9	0,1	0,1	Mishi
MSH-2025-049	358,4	358,9	0,5	0,6	0,6	Mishi
MSH-2025-049	358,9	359,4	0,5	0,5	0,5	Mishi
MSH-2025-049	359,4	359,9	0,5	4,1	4,1	Mishi
MSH-2025-050	444,4	444,9	0,5	7,0	7,0	Mishi
MSH-2025-050	444,9	445,4	0,5	6,5	6,5	Mishi
MSH-2025-050	445,4	445,9	0,5	0,6	0,6	Mishi
MSH-2025-050	445,9	446,6	0,7	4,1	4,1	Mishi
MSH-2025-050	446,6	447,3	0,7	0,4	0,4	Mishi
MSH-2025-050	447,3	447,9	0,6	0,8	0,8	Mishi
MSH-2025-050	447,9	448,4	0,5	0,1	0,1	Mishi
MSH-2025-050	453,5	454,0	0,5	5,4	5,4	Mishi
MSH-2025-051	370,2	370,9	0,7	1,1	1,1	Mishi
MSH-2025-051	370,9	371,5	0,6	0,0	0,0	Mishi
MSH-2025-051	371,5	372,1	0,6	0,3	0,3	Mishi
MSH-2025-051	372,1	372,9	0,8	0,0	0,0	Mishi
MSH-2025-051	372,9	373,6	0,8	0,4	0,4	Mishi
MSH-2025-051	373,6	374,2	0,5	0,9	0,9	Mishi
MSH-2025-051	374,2	374,7	0,5	1,9	1,9	Mishi
MSH-2025-051	374,7	375,3	0,7	2,3	2,3	Mishi
MSH-2025-051	375,3	375,9	0,6	2,3	2,3	Mishi
MSH-2025-051	375,9	376,4	0,5	0,6	0,6	Mishi
MSH-2025-051	376,4	377,4	1,0	0,9	0,9	Mishi
MSH-2025-051	377,4	378,0	0,6	2,3	2,3	Mishi
MSH-2025-051	378,0	378,5	0,5	0,9	0,9	Mishi
MSH-2025-051	378,5	379,2	0,7	1,9	1,9	Mishi
MSH-2025-051	379,2	380,2	1,0	0,9	0,9	Mishi

Sondage nº	De (m)	À (m)	Longueur de carotte (m)	Teneur (g/t Au)	Teneur de coupure (g/t Au)	Cible
MSH-2025-051	380,2	381,2	1,0	1,0	1,0	Mishi
MSH-2025-051	381,2	381,7	0,5	0,4	0,4	Mishi
MSH-2025-051	381,7	382,2	0,5	0,7	0,7	Mishi
MSH-2025-051	382,2	382,7	0,5	0,7	0,7	Mishi
MSH-2025-051	382,7	383,2	0,5	3,6	3,6	Mishi
MSH-2025-051	383,2	383,7	0,5	0,2	0,2	Mishi
MSH-2025-051	383,7	384,5	0,8	0,2	0,2	Mishi
MSH-2025-051	384,5	385,0	0,5	0,1	0,1	Mishi
MSH-2025-051	385,0	385,5	0,5	0,6	0,6	Mishi
MSH-2025-051	385,5	386,0	0,5	0,3	0,3	Mishi
MSH-2025-051	386,0	386,6	0,6	0,9	0,9	Mishi
MSH-2025-051	386,6	387,1	0,5	1,1	1,1	Mishi
MSH-2025-051	387,1	387,6	0,5	13,9	13,9	Mishi
MSH-2025-051	387,6	388,4	0,8	1,5	1,5	Mishi
MSH-2025-051	388,4	388,8	0,4	23,4	23,4	Mishi
MSH-2025-051	388,8	389,2	0,4	77,6	77,6	Mishi
MSH-2025-051	389,2	389,7	0,5	10,2	10,2	Mishi
MSH-2025-051	389,7	390,2	0,5	61,1	61,1	Mishi

Formation de fer de Cameron Lake

Sondage nº	De (m)	À (m)	Longueur de carotte (m)	Teneur (g/t Au)	Teneur de coupure (g/t Au)	Cible
GS-25-269	133,0	134,0	1,0	2,0		Formation de fer
GS-25-269	134,0	135,0	1,0	0,1		Formation de fer
GS-25-269	135,0	136,0	1,0	0,0		Formation de fer
GS-25-269	136,0	137,0	1,0	0,0		Formation de fer
GS-25-269	137,0	138,0	1,0	0,2		Formation de fer
GS-25-269	138,0	139,0	1,0	0,0		Formation de fer
GS-25-269	139,0	140,0	1,0	0,0		Formation de fer
GS-25-269	140,0	141,0	1,0	1,0		Formation de fer
GS-25-269	141,0	142,0	1,0	0,0		Formation de fer
GS-25-269	142,0	143,0	1,0	0,2		Formation de fer
GS-25-269	143,0	144,0	1,0	0,0		Formation de fer
GS-25-269	144,0	145,0	1,0	2,0		Formation de fer
GS-25-269	145,0	146,0	1,0	0,0		Formation de fer
GS-25-269	146,0	147,0	1,0	0,1		Formation de fer

Sondage nº	De (m)	À (m)	Longueur de carotte (m)	Teneur (g/t Au)	Teneur de coupure (g/t Au)	Cible
GS-25-269	147,0	148,0	1,0	1,7		Formation de fer
GS-25-269	148,0	149,0	1,0	0,2		Formation de fer
GS-25-269	149,0	150,0	1,0	0,0		Formation de fer
GS-25-269	150,0	151,0	1,0	0,3		Formation de fer
GS-25-269	151,0	152,0	1,0	0,0		Formation de fer
GS-25-269	152,0	153,0	1,0	2,1		Formation de fer
GS-25-269	153,0	154,0	1,0	1,1		Formation de fer
GS-25-269	154,0	155,0	1,0	0,6		Formation de fer
GS-25-269	155,0	156,0	1,0	2,3		Formation de fer
GS-25-269	156,0	157,0	1,0	2,2		Formation de fer
GS-25-269	157,0	158,0	1,0	0,6		Formation de fer
GS-25-269	158,0	159,0	1,0	4,7		Formation de fer
GS-25-269	159,0	160,0	1,0	0,8		Formation de fer
GS-25-269	160,0	161,0	1,0	0,2		Formation de fer
GS-25-269	161,0	161,8	0,8	0,5		Formation de fer
GS-25-269	161,8	162,7	0,9	0,0		Formation de fer
GS-25-269	162,7	163,5	0,8	0,1		Formation de fer
GS-25-269	163,5	164,0	0,5	0,4		Formation de fer
GS-25-269	164,0	165,2	1,2	0,0		Formation de fer
GS-25-269	165,2	166,3	1,1	0,0		Formation de fer
GS-25-269	166,3	167,0	0,7	1,6		Formation de fer
GS-25-269	167,0	168,0	1,0	0,3		Formation de fer
GS-25-269	168,0	169,0	1,0	1,0		Formation de fer
GS-25-269	169,0	170,0	1,0	0,2		Formation de fer
GS-25-269	170,0	171,0	1,0	0,1		Formation de fer
GS-25-269	171,0	172,0	1,0	0,9		Formation de fer
GS-25-269	172,0	173,0	1,0	9,3		Formation de fer
GS-25-269	173,0	174,0	1,0	7,5		Formation de fer
GS-25-270	61,4	62,3	0,9	1,5		Formation de fer
GS-25-270	62,3	63,2	0,9	0,0		Formation de fer
GS-25-270	63,2	64,2	1,0	0,6		Formation de fer
GS-25-270	64,2	65,3	1,1	2,8		Formation de fer
GS-25-270	65,3	66,3	1,0	0,2		Formation de fer
GS-25-270	66,3	67,3	1,0	2,9		Formation de fer
GS-25-270	67,3	68,0	0,7	2,5		Formation de fer
GS-25-270	68,0	68,8	0,8	0,1		Formation de fer

Sondage nº	De (m)	À (m)	Longueur de carotte (m)	Teneur (g/t Au)	Teneur de coupure (g/t Au)	Cible
GS-25-270	68,8	69,6	0,8	0,7		Formation de fer
GS-25-270	69,6	70,4	0,8	0,0		Formation de fer
GS-25-270	70,4	71,2	0,8	0,0		Formation de fer
GS-25-270	71,2	72,2	1,0	0,0		Formation de fer
GS-25-270	72,2	73,1	0,9	0,0		Formation de fer
GS-25-270	73,1	73,7	0,6	0,0		Formation de fer
GS-25-270	73,7	74,7	1,0	0,0		Formation de fer
GS-25-270	74,7	75,7	1,0	0,0		Formation de fer
GS-25-270	75,7	76,7	1,0	0,3		Formation de fer
GS-25-270	76,7	77,7	1,0	0,2		Formation de fer
GS-25-270	77,7	78,6	0,9	0,6		Formation de fer
GS-25-270	78,6	79,5	0,9	0,5		Formation de fer
GS-25-270	79,5	80,6	1,1	0,4		Formation de fer
GS-25-270	80,6	81,6	1,0	0,1		Formation de fer
GS-25-270	81,6	82,6	1,0	0,1		Formation de fer
GS-25-270	82,6	83,4	0,8	0,0		Formation de fer
GS-25-270	83,4	84,2	0,8	0,0		Formation de fer
GS-25-270	84,2	84,9	0,7	0,0		Formation de fer
GS-25-270	84,9	86,0	1,1	0,3		Formation de fer
GS-25-270	86,0	87,1	1,1	1,0		Formation de fer
GS-25-270	87,1	88,2	1,1	0,0		Formation de fer
GS-25-270	88,2	89,0	0,8	0,0		Formation de fer
GS-25-270	89,0	89,7	0,7	0,0		Formation de fer
GS-25-270	89,7	90,5	0,8	0,0		Formation de fer
GS-25-270	90,5	91,2	0,7	0,0		Formation de fer
GS-25-270	91,2	92,2	1,0	0,0		Formation de fer
GS-25-270	92,2	93,2	1,0	0,0		Formation de fer
GS-25-270	93,2	93,8	0,6	0,0		Formation de fer
GS-25-270	93,8	94,4	0,6	0,1		Formation de fer
GS-25-270	94,4	95,3	0,9	0,0		Formation de fer
GS-25-270	95,3	96,2	0,9	0,2		Formation de fer
GS-25-270	96,2	97,2	1,0	3,8		Formation de fer
GS-25-270	97,2	98,2	1,0	0,0		Formation de fer
GS-25-270	98,2	99,2	1,0	0,0		Formation de fer
GS-25-270	99,2	100,2	1,0	0,0		Formation de fer
GS-25-270	100,2	101,2	1,0	0,0		Formation de fer

Sondage nº	De (m)	À (m)	Longueur de carotte (m)	Teneur (g/t Au)	Teneur de coupure (g/t Au)	Cible
GS-25-270	101,2	102,2	1,0	2,5		Formation de fer
GS-25-270	102,2	103,2	1,0	1,8		Formation de fer
GS-25-270	103,2	104,2	1,0	1,5		Formation de fer
GS-25-270	104,2	105,2	1,0	0,0		Formation de fer
GS-25-270	105,2	105,7	0,5	0,1		Formation de fer
GS-25-270	105,7	106,9	1,2	0,0		Formation de fer
GS-25-270	106,9	107,9	1,0	0,0		Formation de fer
GS-25-270	107,9	108,9	1,0	0,0		Formation de fer
GS-25-270	108,9	109,9	1,0	0,3		Formation de fer
GS-25-270	109,9	110,9	1,0	0,7		Formation de fer
GS-25-270	110,9	111,9	1,0	0,7		Formation de fer
GS-25-270	111,9	113,1	1,2	1,6		Formation de fer
GS-25-272	101,1	102,1	1,0	1,7		Formation de fer
GS-25-272	102,1	103,1	1,0	1,4		Formation de fer
GS-25-272	103,1	104,1	1,0	4,0		Formation de fer
GS-25-272	104,1	105,1	1,0	2,9		Formation de fer
GS-25-272	105,1	106,1	1,0	1,7		Formation de fer
GS-25-272	106,1	107,2	1,1	1,3		Formation de fer
GS-25-272	107,2	108,3	1,1	0,5		Formation de fer
GS-25-272	108,3	109,4	1,1	0,0		Formation de fer
GS-25-272	109,4	110,4	1,0	0,1		Formation de fer
GS-25-272	110,4	111,6	1,2	4,2		Formation de fer
GS-25-272	111,6	112,6	1,0	0,6		Formation de fer
GS-25-272	112,6	113,6	1,0	0,6		Formation de fer
GS-25-272	113,6	114,3	0,7	0,1		Formation de fer
GS-25-272	114,3	115,0	0,7	0,2		Formation de fer
GS-25-272	115,0	116,0	1,0	0,0		Formation de fer
GS-25-272	116,0	117,0	1,0	0,0		Formation de fer
GS-25-272	117,0	118,0	1,0	2,6		Formation de fer
GS-25-272	118,0	119,0	1,0	1,8		Formation de fer
GS-25-272	119,0	120,0	1,0	3,9		Formation de fer
GS-25-272	120,0	121,0	1,0	2,2		Formation de fer
GS-25-272	121,0	122,0	1,0	1,6		Formation de fer
GS-25-272	122,0	123,0	1,0	0,3		Formation de fer
GS-25-272	123,0	124,0	1,0	0,2		Formation de fer
GS-25-272	124,0	125,0	1,0	0,0		Formation de fer

Sondage nº	De (m)	À (m)	Longueur de carotte (m)	Teneur (g/t Au)	Teneur de coupure (g/t Au)	Cible
GS-25-272	125,0	126,0	1,0	0,9		Formation de fer
GS-25-272	126,0	127,0	1,0	1,0		Formation de fer
GS-25-272	127,0	128,0	1,0	1,2		Formation de fer
GS-25-272	128,0	129,0	1,0	1,7		Formation de fer
GS-25-272	129,0	130,0	1,0	1,9		Formation de fer
GS-25-272	130,0	131,0	1,0	1,3		Formation de fer
GS-25-272	131,0	132,0	1,0	0,1		Formation de fer
GS-25-272	132,0	133,0	1,0	8,8		Formation de fer
GS-25-272	133,0	134,0	1,0	2,0		Formation de fer
GS-25-272	134,0	135,0	1,0	0,7		Formation de fer
GS-25-272	135,0	136,1	1,1	0,2		Formation de fer
GS-25-272	136,1	137,2	1,1	2,2		Formation de fer
GS-25-272	137,2	138,3	1,1	0,4		Formation de fer
GS-25-272	138,3	139,4	1,1	1,6		Formation de fer
GS-25-272	139,4	140,5	1,1	0,7		Formation de fer
GS-25-272	140,5	141,5	1,0	0,0		Formation de fer
GS-25-272	141,5	142,3	0,8	0,0		Formation de fer
GS-25-272	142,3	143,2	0,9	0,0		Formation de fer
GS-25-272	143,2	144,2	1,0	0,0		Formation de fer
GS-25-272	144,2	145,2	1,0	0,0		Formation de fer
GS-25-272	145,2	146,2	1,0	0,2		Formation de fer
GS-25-272	146,2	147,2	1,0	0,2		Formation de fer
GS-25-272	147,2	148,2	1,0	0,1		Formation de fer
GS-25-272	148,2	149,3	1,1	0,9		Formation de fer
GS-25-272	149,3	150,4	1,1	1,6		Formation de fer
GS-25-272	150,4	151,5	1,1	1,8		Formation de fer
GS-25-272	151,5	152,6	1,1	1,6		Formation de fer
GS-25-272	152,6	153,6	1,0	0,3		Formation de fer
GS-25-272	153,6	154,7	1,1	0,8		Formation de fer
GS-25-272	154,7	155,7	1,0	1,5		Formation de fer
GS-25-272	155,7	156,9	1,2	1,0		Formation de fer
GS-25-272	156,9	158,1	1,2	0,1		Formation de fer
GS-25-272	158,1	159,2	1,1	0,1		Formation de fer
GS-25-272	159,2	160,3	1,1	0,0		Formation de fer
GS-25-272	160,3	161,5	1,2	0,5		Formation de fer
GS-25-272	161,5	162,6	1,1	1,0		Formation de fer

Sondage nº	De (m)	À (m)	Longueur de carotte (m)	Teneur (g/t Au)	Teneur de coupure (g/t Au)	Cible
GS-25-270	93,8	94,4	0,6	0,1		Formation de fer
GS-25-270	94,4	95,3	0,9	0,0		Formation de fer
GS-25-270	95,3	96,2	0,9	0,2		Formation de fer
GS-25-270	96,2	97,2	1,0	3,8		Formation de fer
GS-25-270	97,2	98,2	1,0	0,0		Formation de fer
GS-25-270	98,2	99,2	1,0	0,0		Formation de fer
GS-25-270	99,2	100,2	1,0	0,0		Formation de fer
GS-25-270	100,2	101,2	1,0	0,0		Formation de fer
GS-25-270	101,2	102,2	1,0	2,5		Formation de fer
GS-25-270	102,2	103,2	1,0	1,8		Formation de fer
GS-25-270	103,2	104,2	1,0	1,5		Formation de fer
GS-25-270	104,2	105,2	1,0	0,0		Formation de fer
GS-25-270	105,2	105,7	0,5	0,1		Formation de fer
GS-25-270	105,7	106,9	1,2	0,0		Formation de fer
GS-25-270	106,9	107,9	1,0	0,0		Formation de fer
GS-25-270	107,9	108,9	1,0	0,0		Formation de fer
GS-25-270	108,9	109,9	1,0	0,3		Formation de fer
GS-25-270	109,9	110,9	1,0	0,7		Formation de fer
GS-25-270	110,9	111,9	1,0	0,7		Formation de fer
GS-25-270	111,9	113,1	1,2	1,6		Formation de fer
GS-25-272	101,1	102,1	1,0	1,7		Formation de fer
GS-25-272	102,1	103,1	1,0	1,4		Formation de fer
GS-25-272	103,1	104,1	1,0	4,0		Formation de fer
GS-25-272	104,1	105,1	1,0	2,9		Formation de fer
GS-25-272	105,1	106,1	1,0	1,7		Formation de fer
GS-25-272	106,1	107,2	1,1	1,3		Formation de fer
GS-25-272	107,2	108,3	1,1	0,5		Formation de fer
GS-25-272	108,3	109,4	1,1	0,0		Formation de fer
GS-25-272	109,4	110,4	1,0	0,1		Formation de fer
GS-25-272	110,4	111,6	1,2	4,2		Formation de fer
GS-25-272	111,6	112,6	1,0	0,6		Formation de fer
GS-25-272	112,6	113,6	1,0	0,6		Formation de fer
GS-25-272	113,6	114,3	0,7	0,1		Formation de fer
GS-25-272	114,3	115,0	0,7	0,2		Formation de fer
GS-25-272	115,0	116,0	1,0	0,0		Formation de fer
GS-25-272	116,0	117,0	1,0	0,0		Formation de fer

Sondage nº	De (m)	À (m)	Longueur de carotte (m)	Teneur (g/t Au)	Teneur de coupure (g/t Au)	Cible
GS-25-272	117,0	118,0	1,0	2,6		Formation de fer
GS-25-272	118,0	119,0	1,0	1,8		Formation de fer
GS-25-272	119,0	120,0	1,0	3,9		Formation de fer
GS-25-272	120,0	121,0	1,0	2,2		Formation de fer
GS-25-272	121,0	122,0	1,0	1,6		Formation de fer
GS-25-272	122,0	123,0	1,0	0,3		Formation de fer
GS-25-272	123,0	124,0	1,0	0,2		Formation de fer
GS-25-272	124,0	125,0	1,0	0,0		Formation de fer
GS-25-272	125,0	126,0	1,0	0,9		Formation de fer
GS-25-272	126,0	127,0	1,0	1,0		Formation de fer
GS-25-272	127,0	128,0	1,0	1,2		Formation de fer
GS-25-272	128,0	129,0	1,0	1,7		Formation de fer
GS-25-272	129,0	130,0	1,0	1,9		Formation de fer
GS-25-272	130,0	131,0	1,0	1,3		Formation de fer
GS-25-272	131,0	132,0	1,0	0,1		Formation de fer
GS-25-272	132,0	133,0	1,0	8,8		Formation de fer
GS-25-272	133,0	134,0	1,0	2,0		Formation de fer
GS-25-272	134,0	135,0	1,0	0,7		Formation de fer
GS-25-272	135,0	136,1	1,1	0,2		Formation de fer
GS-25-272	136,1	137,2	1,1	2,2		Formation de fer
GS-25-272	137,2	138,3	1,1	0,4		Formation de fer
GS-25-272	138,3	139,4	1,1	1,6		Formation de fer
GS-25-272	139,4	140,5	1,1	0,7		Formation de fer
GS-25-272	140,5	141,5	1,0	0,0		Formation de fer
GS-25-272	141,5	142,3	0,8	0,0		Formation de fer
GS-25-272	142,3	143,2	0,9	0,0		Formation de fer
GS-25-272	143,2	144,2	1,0	0,0		Formation de fer
GS-25-272	144,2	145,2	1,0	0,0		Formation de fer
GS-25-272	145,2	146,2	1,0	0,2		Formation de fer
GS-25-272	146,2	147,2	1,0	0,2		Formation de fer
GS-25-272	147,2	148,2	1,0	0,1		Formation de fer
GS-25-272	148,2	149,3	1,1	0,9		Formation de fer
GS-25-272	149,3	150,4	1,1	1,6		Formation de fer
GS-25-272	150,4	151,5	1,1	1,8		Formation de fer
GS-25-272	151,5	152,6	1,1	1,6		Formation de fer
GS-25-272	152,6	153,6	1,0	0,3		Formation de fer

Sondage nº	De (m)	À (m)	Longueur de carotte (m)	Teneur (g/t Au)	Teneur de coupure (g/t Au)	Cible
GS-25-272	153,6	154,7	1,1	0,8		Formation de fer
GS-25-272	154,7	155,7	1,0	1,5		Formation de fer
GS-25-272	155,7	156,9	1,2	1,0		Formation de fer
GS-25-272	156,9	158,1	1,2	0,1		Formation de fer
GS-25-272	158,1	159,2	1,1	0,1		Formation de fer
GS-25-272	159,2	160,3	1,1	0,0		Formation de fer
GS-25-272	160,3	161,5	1,2	0,5		Formation de fer
GS-25-272	161,5	162,6	1,1	1,0		Formation de fer
GS-25-272	106,1	107,2	1,1	1,3		Formation de fer
GS-25-272	107,2	108,3	1,1	0,5		Formation de fer
GS-25-272	108,3	109,4	1,1	0,0		Formation de fer
GS-25-272	109,4	110,4	1,0	0,1		Formation de fer
GS-25-272	110,4	111,6	1,2	4,2		Formation de fer
GS-25-272	111,6	112,6	1,0	0,6		Formation de fer
GS-25-272	112,6	113,6	1,0	0,6		Formation de fer
GS-25-272	113,6	114,3	0,7	0,1		Formation de fer
GS-25-272	114,3	115,0	0,7	0,2		Formation de fer
GS-25-272	115,0	116,0	1,0	0,0		Formation de fer
GS-25-272	116,0	117,0	1,0	0,0		Formation de fer
GS-25-272	117,0	118,0	1,0	2,6		Formation de fer
GS-25-272	118,0	119,0	1,0	1,8		Formation de fer
GS-25-272	119,0	120,0	1,0	3,9		Formation de fer
GS-25-272	120,0	121,0	1,0	2,2		Formation de fer
GS-25-272	121,0	122,0	1,0	1,6		Formation de fer
GS-25-272	122,0	123,0	1,0	0,3		Formation de fer
GS-25-272	123,0	124,0	1,0	0,2		Formation de fer
GS-25-272	124,0	125,0	1,0	0,0		Formation de fer
GS-25-272	125,0	126,0	1,0	0,9		Formation de fer
GS-25-272	126,0	127,0	1,0	1,0		Formation de fer
GS-25-272	127,0	128,0	1,0	1,2		Formation de fer
GS-25-272	128,0	129,0	1,0	1,7		Formation de fer
GS-25-272	129,0	130,0	1,0	1,9		Formation de fer
GS-25-272	130,0	131,0	1,0	1,3		Formation de fer
GS-25-272	131,0	132,0	1,0	0,1		Formation de fer
GS-25-272	132,0	133,0	1,0	8,8		Formation de fer
GS-25-272	133,0	134,0	1,0	2,0		Formation de fer

Sondage nº	De (m)	À (m)	Longueur de carotte (m)	Teneur (g/t Au)	Teneur de coupure (g/t Au)	Cible
GS-25-272	134,0	135,0	1,0	0,7		Formation de fer
GS-25-272	135,0	136,1	1,1	0,2		Formation de fer
GS-25-272	136,1	137,2	1,1	2,2		Formation de fer
GS-25-272	137,2	138,3	1,1	0,4		Formation de fer
GS-25-272	138,3	139,4	1,1	1,6		Formation de fer
GS-25-272	139,4	140,5	1,1	0,7		Formation de fer
GS-25-272	140,5	141,5	1,0	0,0		Formation de fer
GS-25-272	141,5	142,3	0,8	0,0		Formation de fer
GS-25-272	142,3	143,2	0,9	0,0		Formation de fer
GS-25-272	143,2	144,2	1,0	0,0		Formation de fer
GS-25-272	144,2	145,2	1,0	0,0		Formation de fer
GS-25-272	145,2	146,2	1,0	0,2		Formation de fer
GS-25-272	146,2	147,2	1,0	0,2		Formation de fer
GS-25-272	147,2	148,2	1,0	0,1		Formation de fer
GS-25-272	148,2	149,3	1,1	0,9		Formation de fer
GS-25-272	149,3	150,4	1,1	1,6		Formation de fer
GS-25-272	150,4	151,5	1,1	1,8		Formation de fer
GS-25-272	151,5	152,6	1,1	1,6		Formation de fer
GS-25-272	152,6	153,6	1,0	0,3		Formation de fer
GS-25-272	153,6	154,7	1,1	0,8		Formation de fer
GS-25-272	154,7	155,7	1,0	1,5		Formation de fer
GS-25-272	155,7	156,9	1,2	1,0		Formation de fer
GS-25-272	156,9	158,1	1,2	0,1		Formation de fer
GS-25-272	158,1	159,2	1,1	0,1		Formation de fer
GS-25-272	159,2	160,3	1,1	0,0		Formation de fer
GS-25-272	160,3	161,5	1,2	0,5		Formation de fer
GS-25-272	161,5	162,6	1,1	1,0		Formation de fer
GS-25-272	113,6	114,3	0,7	0,1		Formation de fer
GS-25-272	114,3	115,0	0,7	0,2		Formation de fer
GS-25-272	115,0	116,0	1,0	0,0		Formation de fer
GS-25-272	116,0	117,0	1,0	0,0		Formation de fer
GS-25-272	117,0	118,0	1,0	2,6		Formation de fer
GS-25-272	118,0	119,0	1,0	1,8		Formation de fer
GS-25-272	119,0	120,0	1,0	3,9		Formation de fer
GS-25-272	120,0	121,0	1,0	2,2		Formation de fer
GS-25-272	121,0	122,0	1,0	1,6		Formation de fer

Sondage nº	De (m)	À (m)	Longueur de carotte (m)	Teneur (g/t Au)	Teneur de coupure (g/t Au)	Cible
GS-25-272	122,0	123,0	1,0	0,3		Formation de fer
GS-25-272	123,0	124,0	1,0	0,2		Formation de fer
GS-25-272	124,0	125,0	1,0	0,0		Formation de fer
GS-25-272	125,0	126,0	1,0	0,9		Formation de fer
GS-25-272	126,0	127,0	1,0	1,0		Formation de fer
GS-25-272	127,0	128,0	1,0	1,2		Formation de fer
GS-25-272	128,0	129,0	1,0	1,7		Formation de fer
GS-25-272	129,0	130,0	1,0	1,9		Formation de fer
GS-25-272	130,0	131,0	1,0	1,3		Formation de fer
GS-25-272	131,0	132,0	1,0	0,1		Formation de fer
GS-25-272	132,0	133,0	1,0	8,8		Formation de fer
GS-25-272	133,0	134,0	1,0	2,0		Formation de fer
GS-25-272	134,0	135,0	1,0	0,7		Formation de fer
GS-25-272	135,0	136,1	1,1	0,2		Formation de fer
GS-25-272	136,1	137,2	1,1	2,2		Formation de fer
GS-25-272	137,2	138,3	1,1	0,4		Formation de fer
GS-25-272	138,3	139,4	1,1	1,6		Formation de fer
GS-25-272	139,4	140,5	1,1	0,7		Formation de fer
GS-25-272	140,5	141,5	1,0	0,0		Formation de fer
GS-25-272	141,5	142,3	0,8	0,0		Formation de fer
GS-25-272	142,3	143,2	0,9	0,0		Formation de fer
GS-25-272	143,2	144,2	1,0	0,0		Formation de fer
GS-25-272	144,2	145,2	1,0	0,0		Formation de fer
GS-25-272	145,2	146,2	1,0	0,2		Formation de fer
GS-25-272	146,2	147,2	1,0	0,2		Formation de fer
GS-25-272	147,2	148,2	1,0	0,1		Formation de fer
GS-25-272	148,2	149,3	1,1	0,9		Formation de fer
GS-25-272	149,3	150,4	1,1	1,6		Formation de fer
GS-25-272	150,4	151,5	1,1	1,8		Formation de fer
GS-25-272	151,5	152,6	1,1	1,6		Formation de fer
GS-25-272	152,6	153,6	1,0	0,3		Formation de fer
GS-25-272	153,6	154,7	1,1	0,8		Formation de fer
GS-25-272	154,7	155,7	1,0	1,5		Formation de fer
GS-25-272	155,7	156,9	1,2	1,0		Formation de fer
GS-25-272	156,9	158,1	1,2	0,1		Formation de fer
GS-25-272	158,1	159,2	1,1	0,1		Formation de fer

Sondage nº	De (m)	À (m)	Longueur de carotte (m)	Teneur (g/t Au)	Teneur de coupure (g/t Au)	Cible
GS-25-272	159,2	160,3	1,1	0,0		Formation de fer
GS-25-272	160,3	161,5	1,2	0,5		Formation de fer
GS-25-272	161,5	162,6	1,1	1,0		Formation de fer
GS-25-276	208,0	209,0	1,0	7,3		Formation de fer
GS-25-276	209,0	210,0	1,0	0,3		Formation de fer
GS-25-276	210,0	211,0	1,0	0,7		Formation de fer
GS-25-276	211,0	212,0	1,0	0,1		Formation de fer
GS-25-276	212,0	212,7	0,7	3,3		Formation de fer
GS-25-276	212,7	213,5	0,8	3,0		Formation de fer
GS-25-276	213,5	214,3	0,8	0,7		Formation de fer
GS-25-276	214,3	215,1	0,8	0,0		Formation de fer
GS-25-276	215,1	216,0	0,9	0,1		Formation de fer
GS-25-276	216,0	216,8	0,8	0,5		Formation de fer
GS-25-276	216,8	217,7	0,9	0,0		Formation de fer
GS-25-276	217,7	218,5	0,8	0,0		Formation de fer
GS-25-276	218,5	219,3	0,8	0,0		Formation de fer
GS-25-276	219,3	220,3	1,0	0,2		Formation de fer
GS-25-276	220,3	221,3	1,0	2,1		Formation de fer
GS-25-276	221,3	222,0	0,7	5,5		Formation de fer
GS-25-276	222,0	222,7	0,7	5,9		Formation de fer
GS-25-276	222,7	223,5	0,8	2,1		Formation de fer
GS-25-276	223,5	224,3	0,8	1,2		Formation de fer
GS-25-276	224,3	225,0	0,7	0,1		Formation de fer
GS-25-276	225,0	226,0	1,0	0,9		Formation de fer
GS-25-276	226,0	227,0	1,0	3,0		Formation de fer
GS-25-276	227,0	228,0	1,0	0,8		Formation de fer
GS-25-276	228,0	229,0	1,0	0,0		Formation de fer
GS-25-276	229,0	230,2	1,2	0,0		Formation de fer
GS-25-276	230,2	231,0	0,8	0,8		Formation de fer
GS-25-276	231,0	232,0	1,0	1,1		Formation de fer
GS-25-276	232,0	233,0	1,0	0,0		Formation de fer
GS-25-276	233,0	233,9	0,9	0,3		Formation de fer
GS-25-276	233,9	234,9	1,0	0,0		Formation de fer
GS-25-276	234,9	235,9	1,0	0,1		Formation de fer
GS-25-276	235,9	236,9	1,0	0,1		Formation de fer
GS-25-276	236,9	237,7	0,8	0,5		Formation de fer

Sondage nº	De (m)	À (m)	Longueur de carotte (m)	Teneur (g/t Au)	Teneur de coupure (g/t Au)	Cible
GS-25-276	237,7	238,7	1,0	0,0		Formation de fer
GS-25-276	238,7	239,7	1,0	0,0		Formation de fer
GS-25-276	239,7	240,7	1,0	0,0		Formation de fer
GS-25-276	240,7	241,7	1,0	0,0		Formation de fer
GS-25-276	241,7	242,7	1,0	1,0		Formation de fer
GS-25-276	242,7	243,7	1,0	1,4		Formation de fer
GS-25-276	243,7	244,7	1,0	0,3		Formation de fer
GS-25-276	244,7	245,7	1,0	2,5		Formation de fer
GS-25-276	245,7	246,7	1,0	0,7		Formation de fer
GS-25-278	155,1	156,1	1,0	1,6		Formation de fer
GS-25-278	156,1	157,1	1,0	2,6		Formation de fer
GS-25-278	157,1	158,1	1,0	1,0		Formation de fer
GS-25-278	158,1	159,1	1,0	1,7		Formation de fer
GS-25-278	159,1	160,0	0,9	1,0		Formation de fer
GS-25-278	160,0	160,9	0,9	0,5		Formation de fer
GS-25-278	160,9	161,8	0,9	0,7		Formation de fer
GS-25-278	161,8	162,5	0,7	0,4		Formation de fer
GS-25-278	162,5	163,3	0,8	0,0		Formation de fer
GS-25-278	163,3	164,2	0,9	0,0		Formation de fer
GS-25-278	164,2	165,1	0,9	0,7		Formation de fer
GS-25-278	165,1	166,1	1,0	0,3		Formation de fer
GS-25-278	166,1	167,0	0,9	1,1		Formation de fer
GS-25-278	167,0	168,0	1,0	1,1		Formation de fer
GS-25-278	168,0	169,0	1,0	0,3		Formation de fer
GS-25-278	169,0	170,0	1,0	0,9		Formation de fer
GS-25-278	170,0	171,0	1,0	0,1		Formation de fer
GS-25-278	171,0	172,0	1,0	0,2		Formation de fer
GS-25-278	172,0	173,0	1,0	0,1		Formation de fer
GS-25-278	173,0	173,8	0,8	0,3		Formation de fer
GS-25-278	173,8	174,7	0,9	0,2		Formation de fer
GS-25-278	174,7	175,6	0,9	0,0		Formation de fer
GS-25-278	175,6	176,5	0,9	0,2		Formation de fer
GS-25-278	176,5	177,4	0,9	0,0		Formation de fer
GS-25-278	177,4	178,3	0,9	0,4		Formation de fer
GS-25-278	178,3	179,3	1,0	0,0		Formation de fer
GS-25-278	179,3	180,3	1,0	0,6		Formation de fer

Sondage nº	De (m)	À (m)	Longueur de carotte (m)	Teneur (g/t Au)	Teneur de coupure (g/t Au)	Cible
GS-25-278	180,3	181,2	0,9	1,2		Formation de fer
GS-25-278	181,2	182,1	0,9	0,0		Formation de fer
GS-25-278	182,1	183,1	1,0	0,0		Formation de fer
GS-25-278	183,1	184,1	1,0	0,0		Formation de fer
GS-25-278	184,1	185,0	0,9	0,0		Formation de fer
GS-25-278	185,0	185,9	0,9	0,0		Formation de fer
GS-25-278	185,9	186,9	1,0	0,0		Formation de fer
GS-25-278	186,9	188,0	1,1	0,5		Formation de fer
GS-25-278	188,0	189,0	1,0	1,2		Formation de fer
GS-25-278	189,0	190,0	1,0	2,0		Formation de fer
GS-25-278	190,0	191,0	1,0	0,8		Formation de fer
GS-25-278	191,0	192,0	1,0	1,2		Formation de fer
GS-25-278	192,0	193,0	1,0	1,5		Formation de fer
GS-25-278	193,0	194,0	1,0	0,7		Formation de fer
GS-25-278	194,0	195,0	1,0	1,9		Formation de fer
GS-25-278	195,0	196,0	1,0	1,1		Formation de fer
GS-25-278	196,0	197,0	1,0	1,0		Formation de fer
GS-25-278	197,0	198,0	1,0	0,5		Formation de fer
GS-25-278	198,0	199,0	1,0	0,1		Formation de fer
GS-25-278	199,0	200,0	1,0	0,9		Formation de fer
GS-25-278	200,0	201,0	1,0	0,4		Formation de fer
GS-25-278	201,0	202,0	1,0	0,1		Formation de fer
GS-25-278	202,0	202,9	0,9	2,0		Formation de fer
GS-25-278	202,9	203,8	0,9	2,8		Formation de fer
GS-25-278	203,8	204,7	0,9	0,6		Formation de fer
GS-25-278	204,7	205,6	0,9	0,1		Formation de fer
GS-25-278	205,6	206,5	0,9	1,4		Formation de fer
GS-25-278	206,5	207,4	0,9	1,2		Formation de fer
GS-25-276	208,0	209,0	1,0	7,3		Formation de fer
GS-25-276	209,0	210,0	1,0	0,3		Formation de fer
GS-25-276	210,0	211,0	1,0	0,7		Formation de fer
GS-25-276	211,0	212,0	1,0	0,1		Formation de fer
GS-25-276	212,0	212,7	0,7	3,3		Formation de fer
GS-25-276	212,7	213,5	0,8	3,0		Formation de fer
GS-25-276	213,5	214,3	0,8	0,7		Formation de fer
GS-25-276	214,3	215,1	0,8	0,0		Formation de fer

Sondage nº	De (m)	À (m)	Longueur de carotte (m)	Teneur (g/t Au)	Teneur de coupure (g/t Au)	Cible
GS-25-276	215,1	216,0	0,9	0,1		Formation de fer
GS-25-276	216,0	216,8	0,8	0,5		Formation de fer
GS-25-276	216,8	217,7	0,9	0,0		Formation de fer
GS-25-276	217,7	218,5	0,8	0,0		Formation de fer
GS-25-276	218,5	219,3	0,8	0,0		Formation de fer
GS-25-276	219,3	220,3	1,0	0,2		Formation de fer
GS-25-276	220,3	221,3	1,0	2,1		Formation de fer
GS-25-276	221,3	222,0	0,7	5,5		Formation de fer
GS-25-276	222,0	222,7	0,7	5,9		Formation de fer
GS-25-276	222,7	223,5	0,8	2,1		Formation de fer
GS-25-276	223,5	224,3	0,8	1,2		Formation de fer
GS-25-276	224,3	225,0	0,7	0,1		Formation de fer
GS-25-276	225,0	226,0	1,0	0,9		Formation de fer
GS-25-276	226,0	227,0	1,0	3,0		Formation de fer
GS-25-276	227,0	228,0	1,0	0,8		Formation de fer
GS-25-276	228,0	229,0	1,0	0,0		Formation de fer
GS-25-276	229,0	230,2	1,2	0,0		Formation de fer
GS-25-276	230,2	231,0	0,8	0,8		Formation de fer
GS-25-276	231,0	232,0	1,0	1,1		Formation de fer
GS-25-276	232,0	233,0	1,0	0,0		Formation de fer
GS-25-276	233,0	233,9	0,9	0,3		Formation de fer
GS-25-276	233,9	234,9	1,0	0,0		Formation de fer
GS-25-276	234,9	235,9	1,0	0,1		Formation de fer
GS-25-276	235,9	236,9	1,0	0,1		Formation de fer
GS-25-276	236,9	237,7	0,8	0,5		Formation de fer
GS-25-276	237,7	238,7	1,0	0,0		Formation de fer
GS-25-276	238,7	239,7	1,0	0,0		Formation de fer
GS-25-276	239,7	240,7	1,0	0,0		Formation de fer
GS-25-276	240,7	241,7	1,0	0,0		Formation de fer
GS-25-276	241,7	242,7	1,0	1,0		Formation de fer
GS-25-276	242,7	243,7	1,0	1,4		Formation de fer
GS-25-276	243,7	244,7	1,0	0,3		Formation de fer
GS-25-276	244,7	245,7	1,0	2,5		Formation de fer
GS-25-276	245,7	246,7	1,0	0,7		Formation de fer
GS-25-278	155,1	156,1	1,0	1,6		Formation de fer
GS-25-278	156,1	157,1	1,0	2,6		Formation de fer

Sondage nº	De (m)	À (m)	Longueur de carotte (m)	Teneur (g/t Au)	Teneur de coupure (g/t Au)	Cible
GS-25-278	157,1	158,1	1,0	1,0		Formation de fer
GS-25-278	158,1	159,1	1,0	1,7		Formation de fer
GS-25-278	159,1	160,0	0,9	1,0		Formation de fer
GS-25-278	160,0	160,9	0,9	0,5		Formation de fer
GS-25-278	160,9	161,8	0,9	0,7		Formation de fer
GS-25-278	161,8	162,5	0,7	0,4		Formation de fer
GS-25-278	162,5	163,3	0,8	0,0		Formation de fer
GS-25-278	163,3	164,2	0,9	0,0		Formation de fer
GS-25-278	164,2	165,1	0,9	0,7		Formation de fer
GS-25-278	165,1	166,1	1,0	0,3		Formation de fer
GS-25-278	166,1	167,0	0,9	1,1		Formation de fer
GS-25-278	167,0	168,0	1,0	1,1		Formation de fer
GS-25-278	168,0	169,0	1,0	0,3		Formation de fer
GS-25-278	169,0	170,0	1,0	0,9		Formation de fer
GS-25-278	170,0	171,0	1,0	0,1		Formation de fer
GS-25-278	171,0	172,0	1,0	0,2		Formation de fer
GS-25-278	172,0	173,0	1,0	0,1		Formation de fer
GS-25-278	173,0	173,8	0,8	0,3		Formation de fer
GS-25-278	173,8	174,7	0,9	0,2		Formation de fer
GS-25-278	174,7	175,6	0,9	0,0		Formation de fer
GS-25-278	175,6	176,5	0,9	0,2		Formation de fer
GS-25-278	176,5	177,4	0,9	0,0		Formation de fer
GS-25-278	177,4	178,3	0,9	0,4		Formation de fer
GS-25-278	178,3	179,3	1,0	0,0		Formation de fer
GS-25-278	179,3	180,3	1,0	0,6		Formation de fer
GS-25-278	180,3	181,2	0,9	1,2		Formation de fer
GS-25-278	181,2	182,1	0,9	0,0		Formation de fer
GS-25-278	182,1	183,1	1,0	0,0		Formation de fer
GS-25-278	183,1	184,1	1,0	0,0		Formation de fer
GS-25-278	184,1	185,0	0,9	0,0		Formation de fer
GS-25-278	185,0	185,9	0,9	0,0		Formation de fer
GS-25-278	185,9	186,9	1,0	0,0		Formation de fer
GS-25-278	186,9	188,0	1,1	0,5		Formation de fer
GS-25-278	188,0	189,0	1,0	1,2		Formation de fer
GS-25-278	189,0	190,0	1,0	2,0		Formation de fer
GS-25-278	190,0	191,0	1,0	0,8		Formation de fer

Sondage nº	De (m)	À (m)	Longueur de carotte (m)	Teneur (g/t Au)	Teneur de coupure (g/t Au)	Cible
GS-25-278	191,0	192,0	1,0	1,2		Formation de fer
GS-25-278	192,0	193,0	1,0	1,5		Formation de fer
GS-25-278	193,0	194,0	1,0	0,7		Formation de fer
GS-25-278	194,0	195,0	1,0	1,9		Formation de fer
GS-25-278	195,0	196,0	1,0	1,1		Formation de fer
GS-25-278	196,0	197,0	1,0	1,0		Formation de fer
GS-25-278	197,0	198,0	1,0	0,5		Formation de fer
GS-25-278	198,0	199,0	1,0	0,1		Formation de fer
GS-25-278	199,0	200,0	1,0	0,9		Formation de fer
GS-25-278	200,0	201,0	1,0	0,4		Formation de fer
GS-25-278	201,0	202,0	1,0	0,1		Formation de fer
GS-25-278	202,0	202,9	0,9	2,0		Formation de fer
GS-25-278	202,9	203,8	0,9	2,8		Formation de fer
GS-25-278	203,8	204,7	0,9	0,6		Formation de fer
GS-25-278	204,7	205,6	0,9	0,1		Formation de fer
GS-25-278	205,6	206,5	0,9	1,4		Formation de fer
GS-25-278	206,5	207,4	0,9	1,2		Formation de fer
GS-25-278	207,4	208,3	0,9	0,7		Formation de fer
GS-25-280	14,6	15,4	0,8	1,1		Formation de fer
GS-25-280	15,4	16,3	0,9	0,1		Formation de fer
GS-25-280	16,3	17,1	0,8	1,5		Formation de fer
GS-25-280	17,1	18,1	1,0	0,5		Formation de fer
GS-25-280	18,1	19,1	1,0	0,3		Formation de fer
GS-25-280	19,1	20,1	1,0	0,0		Formation de fer
GS-25-280	20,1	21,1	1,0	0,0		Formation de fer
GS-25-280	21,1	22,0	0,9	0,8		Formation de fer
GS-25-280	22,0	23,0	1,0	1,1		Formation de fer
GS-25-280	23,0	24,0	1,0	1,3		Formation de fer
GS-25-280	24,0	25,0	1,0	1,3		Formation de fer
GS-25-280	25,0	26,0	1,0	0,1		Formation de fer
GS-25-280	26,0	27,0	1,0	0,1		Formation de fer
GS-25-280	27,0	28,0	1,0	0,5		Formation de fer
GS-25-280	28,0	29,0	1,0	0,0		Formation de fer
GS-25-280	29,0	30,0	1,0	0,1		Formation de fer
GS-25-280	14,6	15,4	0,8	1,1		Formation de fer
GS-25-280	15,4	16,3	0,9	0,1		Formation de fer

Sondage nº	De (m)	À (m)	Longueur de carotte (m)	Teneur (g/t Au)	Teneur de coupure (g/t Au)	Cible
GS-25-280	16,3	17,1	0,8	1,5		Formation de fer
GS-25-280	17,1	18,1	1,0	0,5		Formation de fer
GS-25-280	18,1	19,1	1,0	0,3		Formation de fer
GS-25-280	19,1	20,1	1,0	0,0		Formation de fer
GS-25-280	20,1	21,1	1,0	0,0		Formation de fer
GS-25-280	21,1	22,0	0,9	0,8		Formation de fer
GS-25-280	22,0	23,0	1,0	1,1		Formation de fer
GS-25-280	23,0	24,0	1,0	1,3		Formation de fer
GS-25-280	24,0	25,0	1,0	1,3		Formation de fer
GS-25-280	25,0	26,0	1,0	0,1		Formation de fer
GS-25-280	26,0	27,0	1,0	0,1		Formation de fer
GS-25-280	27,0	28,0	1,0	0,5		Formation de fer
GS-25-280	28,0	29,0	1,0	0,0		Formation de fer
GS-25-280	29,0	30,0	1,0	0,1		Formation de fer
GS-25-280	30,0	31,0	1,0	0,4		Formation de fer
GS-25-280	31,0	32,0	1,0	0,4		Formation de fer
GS-25-280	32,0	33,0	1,0	0,0		Formation de fer
GS-25-280	33,0	33,8	0,8	0,1		Formation de fer
GS-25-280	33,8	34,8	1,0	0,0		Formation de fer
GS-25-280	34,8	35,8	1,0	0,0		Formation de fer
GS-25-280	35,8	36,8	1,0	0,1		Formation de fer
GS-25-280	36,8	37,8	1,0	0,0		Formation de fer
GS-25-280	37,8	38,8	1,0	0,0		Formation de fer
GS-25-280	38,8	39,8	1,0	0,1		Formation de fer
GS-25-280	39,8	40,8	1,0	0,1		Formation de fer
GS-25-280	40,8	41,7	0,9	0,0		Formation de fer
GS-25-280	41,7	42,5	0,8	0,1		Formation de fer
GS-25-280	42,5	43,3	0,8	1,2		Formation de fer
GS-25-280	43,3	44,1	0,8	0,2		Formation de fer
GS-25-280	44,1	45,0	0,9	0,1		Formation de fer
GS-25-280	45,0	46,0	1,0	0,0		Formation de fer
GS-25-280	46,0	47,0	1,0	0,0		Formation de fer
GS-25-280	47,0	48,0	1,0	0,5		Formation de fer
GS-25-280	48,0	49,0	1,0	0,3		Formation de fer
GS-25-280	49,0	50,0	1,0	0,1		Formation de fer
GS-25-280	50,0	51,0	1,0	0,3		Formation de fer

Sondage nº	De (m)	À (m)	Longueur de carotte (m)	Teneur (g/t Au)	Teneur de coupure (g/t Au)	Cible
GS-25-280	51,0	51,8	0,8	0,0		Formation de fer
GS-25-280	51,8	52,6	0,8	0,1		Formation de fer
GS-25-280	52,6	53,4	0,8	0,1		Formation de fer
GS-25-280	53,4	54,2	0,8	0,0		Formation de fer
GS-25-280	54,2	55,2	1,0	0,1		Formation de fer
GS-25-280	55,2	56,0	0,8	0,2		Formation de fer
GS-25-280	56,0	57,0	1,0	2,4		Formation de fer
GS-25-280	57,0	58,0	1,0	7,4		Formation de fer
GS-25-280	58,0	59,0	1,0	0,1		Formation de fer
GS-25-280	59,0	59,7	0,7	0,0		Formation de fer
GS-25-280	59,7	60,5	0,8	0,1		Formation de fer
GS-25-280	60,5	61,3	0,8	0,1		Formation de fer
GS-25-280	61,3	62,0	0,7	0,3		Formation de fer
GS-25-280	62,0	63,0	1,0	0,0		Formation de fer
GS-25-280	63,0	63,7	0,7	1,0		Formation de fer
GS-25-280	63,7	64,5	0,8	0,1		Formation de fer
GS-25-280	64,5	65,3	0,8	0,3		Formation de fer
GS-25-280	65,3	66,3	1,0	0,6		Formation de fer
GS-25-280	66,3	67,3	1,0	0,3		Formation de fer
GS-25-280	67,3	68,3	1,0	0,1		Formation de fer
GS-25-280	68,3	69,2	0,9	0,1		Formation de fer
GS-25-280	69,2	70,0	0,8	0,1		Formation de fer
GS-25-280	70,0	71,0	1,0	0,0		Formation de fer
GS-25-280	71,0	72,0	1,0	0,0		Formation de fer
GS-25-280	72,0	73,0	1,0	0,0		Formation de fer
GS-25-280	73,0	74,0	1,0	0,0		Formation de fer
GS-25-280	74,0	75,0	1,0	0,1		Formation de fer
GS-25-280	75,0	76,0	1,0	0,0		Formation de fer
GS-25-280	76,0	77,0	1,0	0,0		Formation de fer
GS-25-280	77,0	78,0	1,0	0,0		Formation de fer
GS-25-280	78,0	79,0	1,0	0,0		Formation de fer
GS-25-280	79,0	80,0	1,0	0,0		Formation de fer
GS-25-280	80,0	81,0	1,0	0,0		Formation de fer
GS-25-280	81,0	82,0	1,0	0,5		Formation de fer
GS-25-280	82,0	83,0	1,0	0,1		Formation de fer
GS-25-280	83,0	84,0	1,0	0,0		Formation de fer

Sondage nº	De (m)	À (m)	Longueur de carotte (m)	Teneur (g/t Au)	Teneur de coupure (g/t Au)	Cible
GS-25-280	84,0	85,0	1,0	0,0		Formation de fer
GS-25-280	85,0	85,7	0,7	0,0		Formation de fer
GS-25-280	85,7	86,5	0,8	0,0		Formation de fer
GS-25-280	86,5	87,3	0,8	0,1		Formation de fer
GS-25-280	87,3	88,0	0,7	0,1		Formation de fer
GS-25-280	88,0	88,6	0,6	0,2		Formation de fer
GS-25-280	88,6	89,2	0,6	0,1		Formation de fer
GS-25-280	89,2	89,8	0,6	0,0		Formation de fer
GS-25-280	89,8	90,8	1,0	0,0		Formation de fer
GS-25-280	90,8	91,8	1,0	0,1		Formation de fer
GS-25-280	91,8	92,8	1,0	0,2		Formation de fer
GS-25-280	92,8	93,8	1,0	0,1		Formation de fer
GS-25-280	93,8	94,6	0,8	0,1		Formation de fer
GS-25-280	94,6	95,4	0,8	1,2		Formation de fer
GS-25-280	95,4	96,2	0,8	1,2		Formation de fer
GS-25-280	96,2	97,0	0,8	0,3		Formation de fer
GS-25-280	97,0	98,0	1,0	0,5		Formation de fer
GS-25-280	98,0	99,0	1,0	0,1		Formation de fer
GS-25-280	99,0	100,0	1,0	0,1		Formation de fer
GS-25-280	100,0	101,0	1,0	0,0		Formation de fer
GS-25-280	101,0	101,9	0,9	0,1		Formation de fer
GS-25-280	101,9	102,7	0,8	0,0		Formation de fer
GS-25-280	102,7	103,7	1,0	0,1		Formation de fer
GS-25-280	103,7	104,7	1,0	0,1		Formation de fer
GS-25-280	104,7	105,7	1,0	0,1		Formation de fer
GS-25-280	105,7	106,5	0,8	0,0		Formation de fer
GS-25-280	106,5	107,3	0,8	0,0		Formation de fer
GS-25-280	107,3	108,0	0,7	0,0		Formation de fer
GS-25-280	108,0	109,0	1,0	0,1		Formation de fer
GS-25-280	109,0	110,0	1,0	0,8		Formation de fer
GS-25-280	110,0	111,0	1,0	0,1		Formation de fer
GS-25-280	111,0	112,0	1,0	0,2		Formation de fer
GS-25-280	112,0	113,0	1,0	0,5		Formation de fer
GS-25-280	113,0	114,0	1,0	0,4		Formation de fer
GS-25-280	114,0	115,0	1,0	1,2		Formation de fer
GS-25-280	115,0	116,0	1,0	0,0		Formation de fer

Sondage nº	De (m)	À (m)	Longueur de carotte (m)	Teneur (g/t Au)	Teneur de coupure (g/t Au)	Cible
GS-25-280	116,0	116,8	0,8	0,1		Formation de fer
GS-25-280	116,8	117,5	0,7	0,1		Formation de fer
GS-25-280	117,5	118,3	0,8	0,0		Formation de fer
GS-25-280	118,3	119,0	0,7	0,1		Formation de fer
GS-25-280	119,0	120,0	1,0	0,3		Formation de fer
GS-25-280	120,0	121,0	1,0	0,4		Formation de fer
GS-25-280	121,0	122,0	1,0	0,1		Formation de fer
GS-25-280	122,0	123,0	1,0	0,2		Formation de fer
GS-25-280	123,0	124,0	1,0	0,2		Formation de fer
GS-25-280	124,0	125,0	1,0	0,3		Formation de fer
GS-25-280	125,0	126,0	1,0	0,4		Formation de fer
GS-25-280	126,0	127,0	1,0	0,0		Formation de fer
GS-25-280	127,0	128,0	1,0	0,1		Formation de fer
GS-25-280	128,0	129,0	1,0	0,4		Formation de fer
GS-25-280	129,0	130,0	1,0	1,0		Formation de fer
GS-25-280	130,0	130,9	0,9	0,1		Formation de fer
GS-25-280	130,9	131,7	0,8	1,0		Formation de fer
GS-25-280	131,7	132,5	0,8	2,2		Formation de fer
GS-25-280	132,5	133,3	0,8	2,4		Formation de fer
GS-25-280	133,3	134,1	0,8	4,4		Formation de fer
GS-25-280	134,1	135,0	0,9	0,1		Formation de fer
GS-25-280	135,0	136,0	1,0	0,0		Formation de fer
GS-25-280	136,0	137,0	1,0	0,4		Formation de fer
GS-25-280	137,0	138,0	1,0	0,0		Formation de fer
GS-25-280	138,0	139,0	1,0	0,1		Formation de fer
GS-25-280	139,0	140,0	1,0	0,0		Formation de fer
GS-25-280	140,0	141,0	1,0	0,3		Formation de fer
GS-25-280	141,0	142,0	1,0	1,0		Formation de fer
GS-25-280	142,0	143,0	1,0	2,4		Formation de fer
GS-25-280	143,0	144,0	1,0	0,0		Formation de fer
GS-25-280	144,0	144,7	0,7	0,3		Formation de fer
GS-25-280	144,7	145,5	0,8	0,8		Formation de fer
GS-25-280	145,5	146,3	0,8	0,7		Formation de fer
GS-25-280	146,3	147,0	0,7	0,9		Formation de fer
GS-25-280	147,0	148,0	1,0	1,3		Formation de fer
GS-25-280	148,0	149,0	1,0	0,8		Formation de fer

Sondage nº	De (m)	À (m)	Longueur de carotte (m)	Teneur (g/t Au)	Teneur de coupure (g/t Au)	Cible
GS-25-280	149,0	150,0	1,0	0,1		Formation de fer
GS-25-280	150,0	151,0	1,0	0,1		Formation de fer
GS-25-280	151,0	151,6	0,6	0,0		Formation de fer
GS-25-280	151,6	152,4	0,8	0,0		Formation de fer
GS-25-280	152,4	153,2	0,8	0,0		Formation de fer
GS-25-280	139,0	140,0	1,0	0,0		Formation de fer
GS-25-280	140,0	141,0	1,0	0,3		Formation de fer
GS-25-280	141,0	142,0	1,0	1,0		Formation de fer
GS-25-280	142,0	143,0	1,0	2,4		Formation de fer
GS-25-280	143,0	144,0	1,0	0,0		Formation de fer
GS-25-280	144,0	144,7	0,7	0,3		Formation de fer
GS-25-280	144,7	145,5	0,8	0,8		Formation de fer
GS-25-280	145,5	146,3	0,8	0,7		Formation de fer
GS-25-280	146,3	147,0	0,7	0,9		Formation de fer
GS-25-280	147,0	148,0	1,0	1,3		Formation de fer
GS-25-280	148,0	149,0	1,0	0,8		Formation de fer
GS-25-280	149,0	150,0	1,0	0,1		Formation de fer
GS-25-280	150,0	151,0	1,0	0,1		Formation de fer
GS-25-280	151,0	151,6	0,6	0,0		Formation de fer
GS-25-280	151,6	152,4	0,8	0,0		Formation de fer
GS-25-280	152,4	153,2	0,8	0,0		Formation de fer
GS-25-280	139,0	140,0	1,0	0,0		Formation de fer
GS-25-280	140,0	141,0	1,0	0,3		Formation de fer
GS-25-280	141,0	142,0	1,0	1,0		Formation de fer
GS-25-280	142,0	143,0	1,0	2,4		Formation de fer
GS-25-280	143,0	144,0	1,0	0,0		Formation de fer
GS-25-280	144,0	144,7	0,7	0,3		Formation de fer
GS-25-280	144,7	145,5	0,8	0,8		Formation de fer
GS-25-280	145,5	146,3	0,8	0,7		Formation de fer
GS-25-280	146,3	147,0	0,7	0,9		Formation de fer
GS-25-280	147,0	148,0	1,0	1,3		Formation de fer
GS-25-280	148,0	149,0	1,0	0,8		Formation de fer
GS-25-280	149,0	150,0	1,0	0,1		Formation de fer
GS-25-280	150,0	151,0	1,0	0,1		Formation de fer
GS-25-280	151,0	151,6	0,6	0,0		Formation de fer
GS-25-280	151,6	152,4	0,8	0,0		Formation de fer

Sondage nº	De (m)	À (m)	Longueur de carotte (m)	Teneur (g/t Au)	Teneur de coupure (g/t Au)	Cible
GS-25-280	152,4	153,2	0,8	0,0		Formation de fer
GS-25-280	153,2	154,0	0,8	0,0		Formation de fer
GS-25-280	154,0	155,0	1,0	0,0		Formation de fer
GS-25-280	155,0	156,0	1,0	0,0		Formation de fer
GS-25-280	156,0	157,0	1,0	0,0		Formation de fer
GS-25-280	157,0	157,7	0,7	0,0		Formation de fer
GS-25-280	157,7	158,8	1,1	0,4		Formation de fer
GS-25-280	158,8	159,8	1,0	0,1		Formation de fer
GS-25-280	159,8	160,7	0,9	1,9		Formation de fer
GS-25-280	160,7	161,7	1,0	0,2		Formation de fer
GS-25-280	161,7	162,5	0,8	0,1		Formation de fer
GS-25-280	162,5	163,3	0,8	0,4		Formation de fer
GS-25-280	163,3	164,2	0,9	0,1		Formation de fer
GS-25-280	164,2	164,8	0,6	0,0		Formation de fer
GS-25-280	164,8	165,6	0,8	0,1		Formation de fer
GS-25-280	165,6	166,4	0,8	1,1		Formation de fer
GS-25-280	166,4	167,2	0,8	1,3		Formation de fer
GS-25-280	167,2	168,0	0,8	0,2		Formation de fer
GS-25-280	168,0	169,0	1,0	2,1		Formation de fer
GS-25-280	169,0	170,0	1,0	0,1		Formation de fer
GS-25-280	170,0	171,0	1,0	0,2		Formation de fer
GS-25-280	171,0	172,0	1,0	0,7		Formation de fer
GS-25-280	172,0	173,0	1,0	1,0		Formation de fer
GS-25-280	173,0	174,0	1,0	2,0		Formation de fer
GS-25-280	174,0	175,0	1,0	1,3		Formation de fer
GS-25-280	175,0	176,0	1,0	0,9		Formation de fer
GS-25-280	176,0	177,0	1,0	0,1		Formation de fer
GS-25-280	177,0	178,0	1,0	0,6		Formation de fer
GS-25-280	178,0	179,0	1,0	0,5		Formation de fer
GS-25-280	179,0	180,0	1,0	1,1		Formation de fer
GS-25-280	180,0	181,0	1,0	0,3		Formation de fer
GS-25-280	181,0	181,8	0,8	0,7		Formation de fer
GS-25-280	181,8	182,6	0,8	0,0		Formation de fer
GS-25-280	182,6	183,4	0,8	0,0		Formation de fer
GS-25-280	183,4	184,2	0,8	1,6		Formation de fer
GS-25-280	184,2	185,2	1,0	0,5		Formation de fer

Sondage nº	De (m)	À (m)	Longueur de carotte (m)	Teneur (g/t Au)	Teneur de coupure (g/t Au)	Cible
GS-25-280	185,2	186,2	1,0	0,2		Formation de fer
GS-25-280	186,2	187,1	0,9	2,0		Formation de fer

Zones 800, 6 Central et 300 d'Eagle River

Sondage nº	De (m)	À (m)	Longueur de carotte (m)	Teneur (g/t Au)	Teneur de coupure (g/t Au)	Cible
ERS-2026-001	1514,00	1514,50	0,50	0,3	0,34	Zone 800 Deep
ERS-2026-001	1514,50	1515,00	0,50	0,7	0,69	Zone 800 Deep
ERS-2026-001	1515,00	1515,50	0,50	36,1	36,1	Zone 800 Deep
ERS-2026-001	1515,50	1516,00	0,50	1,9	1,89	Zone 800 Deep
ERS-2026-003	605,00	605,50	0,50	31,9	31,90	6 Central Deep
25-1201-20	583,8	584,32	0,52	618,23	100	Zone 300